

Vysoká škola: strojní a textilní

textilních strojů a teorie
Katedra: mechanismů

Fakulta: strojní

Školní rok: 1978/79

DIPLOMOVÝ ÚKOL

pro Michala H L A D A

obor 23 - 34 - 8 výrobní stroje a zařízení

Protože jste splnil.... požadavky učebního plánu, zadává Vám vedoucí katedry ve smyslu směrnic ministerstva školství a kultury o státních závěrečných zkouškách tento diplomový úkol:

Název tématu: Chapačový systém konfekčního dírkovacího stroje

Pokyny pro vypracování:

Proveďte rozbor kinematických a dynamických poměrů u chapačového systému konfekčního dírkovacího stroje se speciální dvounitnou řetízkovou vazbou.

Zadané parametry:

Frekvence stehů

2 500 ot/min

Druh stehu: dvounitný řetízkový

Šířka obšítí:

2-4 mm

Hustota stehů:

6-16 1/10mm

Autorétké právo se řídí směrnicemi
ministerstva školství a kultury č.j. 31
z 1.1.1972 ze dne 13. července
1971 (Uprávnění MŠK XVIII), sčíslo 241, o
družstevním vydání 1972, číslo 11/1972, s

VYSOKÁ ŠKOLA STROJNÍ A TEXTILNÍ
Ústřední knihovna
LIBEREC 1, STUDENTSKÁ 5
FSC 461 17

Rozsah grafických laboratorních prací: Schema daného chapačového systému.
Rozsah průvodní zprávy: Konstrukce kinematické analyzy.

Seznam odborné literatury: 30 listů strojopisu formátu A4

- Vl. Motejl, O. Tepřík: Šicí stroje v odvětví výroby SNTL Praha
J. Jirásko: Konstrukce a technologie výroby průmyslových šicích strojů I.
Josef Strya: Konstrukce a technologie výroby průmyslových šicích strojů II.

Vedoucí diplomové práce: Ing. Ladislav Dostrašil, VŠST Liberec
Konsultanti: Emanuel Janderka, ved. oddělení, KVÚ Elitex Brno

Datum zahájení diplomové práce: 10. 10. 1978
Datum odevzdání diplomové práce: 25. 5. 1979



doc. Ing. Jaroslav Chavát, CSc
Vedoucí katedry


doc. RNDr. Bohuslav Stříž, CSc
Děkan

Liberec dne 9. 10. 1978

VŠST LIBEREC

Fakulta strojníctva

O d b o r : 33 - 34 - 8

Výrobné stroje a zariadenia

Katedra textilných strojov a teórie
mechanizmov

Název: Chránič systém konfekčného dierkovacieho
stroja

Autor: Michal Hlásd

Vedúci prác: Ing. Ladislav Dostál

Konsultant: Emanuel Jandorka

Počet strán: 42

Počet tabuľiek:

Počet príloh: 3

Počet obrázkov: 11

Počet výkresov:

MEISTERSKALNE PRÍKLÁSENIE

Micetopriemyselné prehľadajem, že som diplomovú prácu
vypracoval samostatne s použitím českovej literatúry.

v LIBERCI dňa 25.5.1979

Michel Hlad
podpis diplomanta

S U S A H :

	Strana:
1.0 Úvod	8
1.1. Základné poznatky z teórie strojového štítku	9
1.2. Základné pojmy	10
1.3. Postup tvorby dvojnačného retiazkového stolu 403	12
1.4. Súčasť stav výroby konfekčných šter- kovačskej strojov	14
1.5. Výrobové tendencie v štítkovej technike	16
2.0. Výpočetna čiarkovanie	18
2.1. Postup tvorby stolu počiautomatického šterkovačskeho stroja typ 79 401	19
2.2. Mechanizmy zachytania myčky	20
2.3. Aproximácie funkcií	20
2.3.1. Aproximácia r/γ veľkoh chapeče a otvá- ráku	20
2.4. Výpočet kinematických posuvov	27
2.5. Mechanizmus otvárania	29
2.6. Grafický výpočet cíchlosti a zrýchlosťi a chapečového mechanizmu	32
2.7. Výpočet dynamických posuvov lavičky otvá- ráku	34
3.0. Záver	36

1.0.

2. V. 9. D.

Přítomnosť, v ktorej stojeme je momentálne poslednému etapám vedecko-technickej rozvoja, ktoré sa súčasťou prinesie nové riešenie pracovnej činnosti ľudstva.

Zatiaľ čo ľudský deponoval využíval svoje dovede na výkonoch duchovných práce, a to duchovných pripravených, výrobcov a kontrolorov, kde bol sám článkom a súčasťou výrobných procesov, a na ktoré svoju prácu odm výrobnej pôsobili, následom vedecko-technickej rozvoja sa jeho postanie musí v dôsledku automatizácie technologického toku výroby. Vlna automatizácie má zároveň prejav vedecko - technickej rozvoja siedmeho postupu vlastnosti odvetvia ľudskej práce, vymenúci si teda zákonitu aj automatizáciu ďalších procesov. Táto bude prevedená uvedením komplexných automatičkých riadiacích. Rozedenie komplexných automatičkých riadiacich môže byť prevedené nasled. najprv musia byť automatizované jednotlivé operácie, z nich ov. z hľadiska každé technologického postupu. V ďalšom procese, ktorý je súčasťou primárnej odravnej výroby, je tento problém riešený využitím jednoduchových automatonov, ktorých sietapeca je ďalšieho konfliktného ovládajú NIKERTA 73401.

Je to stroj vybavený takými automatičkami programmi, ktoré umožňujú vytvoriť spoznatú technologickú operáciu na odvane výroby, príčom nie je v prípade choda stroja potreba zdanobudovateľky. Čiže stroj má vlastnosť do značnej miery v svojich konštrukčných konceptiach ovplyvnenou ešte významom ľudskej práce a prevedením prostriedkov v odvanej výrobe, provádzia i z príhodností charakteru odvanského výroby. Čiže stroj odvanské výroby

len ulahčuje, zrychluje výrobný proces, avšak nesúťaží s vysokou výrobnej efektivitou a sestavou členov. Použitie ťažnej práce je oproti iným prípravným metodom viedla k lepšiemu. Následovne ťažnej práce súvisí potreba na etapu mechanizácie, popriprávke a kontinuálnej dosadky výrobného procesu.

Cieľom dielkovej práce je rozbore kinematických a dynamických prameňov u chopačového systému konfektionného dielkovačacieho stroja MIMERTA 73401. Kinematického riešenia súčasne súhlasia s tvarom a smerom dráhy, rýchlosťou a zrychlením hmotného členska po dvoch horizontálnych člencoch resp. na ľavej. Tieto závislosti sú významné pre zjednodušenie kinematických volníc a jednotlivého počítania pre výberenie dynamických miš. Riebore kinematických a dynamických prameňov je využívané sústavne a s ohľadom na súčasne súhlasiacich súčasných rýchlosťí a odľahlosti spôsobilosti stroja.

Výrobcom posúva konfektionné dielkovačacie stroje k najlepšejším dielkam stopej. Mechanizmy, ktoré vytvárajú dvojnítkový retiazkový systém a sú to amyškovanie a očerasy, ktorých pohyb je realizovaný od vrátky, kde je pohyb od hmotného členska.

V súčasnej dobe nie je možné pomedzi modernej techniky pokrýť všetky požiadavky na konštrukciu vačkových mechanizmov. Preto sa často stretávame s vačkami, ktorých výpočet a výroba je provádzaný podľa starších používanych spôsobov. Vačky sú vačšinou výrobené nepríamo spôsobom, čo znamená v prvej fáze zhotovenie šablóny a kopirovacím spôsobom zhotovenie vlastnej vačky. Šablóny sú prevážne obrabujú na klasických freskách, alebo na vyvrtavačkách bod po bode. Vzniknuté vlnky sú potom začistujú ručne polníkom alebo skleným papierom.

tyč nedostatočne vŕňajúcich meradiel. Výrobci podniky sú vypozen-
hajú tým, že nemôžu výroba a meria rôzne jednotlivé meradla pre kontrolu špeciálnych funkcií. Preto na základe sest-
upných posuvov z kinematikovej analýzy jednos z menších čiast k
odstráneniu príložného urýchlenia a hluhu stroja je riadenie
meradly.

I.8. ZÁKLADNÉ POZRATKY Z TEÓRIE STROJOVÉHO ŠÍTIA

I keď už predstavujeme dnes tejto diplomovej práce kinematické a dynamické pôsobky chapacích systémov pre tvorbu dvojdielstva retiazkového steha, je nutné upoznať v základných rysach povolenie si obecných zákonitostí umožňujúcich vytváranie stehu stojanom, to je strojové šítie vôbec.

Strojové šítie dosiaľ v plnom rozsahu uzákratio šítie ručné. Dodieľ k tomu prenovovaným výrobkám jeho neuvyvratelnou výhodou je produktivita, kvalita spracovania materiálu a celková štandardizácia povolenia v procese priemyselnej odvetvnej výroby. Ručné šítie sa najviac uplatňuje pri dokončovacích prácach a úpravach konfekčných výrobkov. Na rozdiel od šítia ručného sa pri zároveňom šíti napriekruhuje šitím materiálov také zložitejšími súčasťami, ako sú jemné lásky, ktoré je po protiahnutí vložené do výrobku tak, aby mohla byť zachytená vhodným stehatvorným mechanizmom, a výhľadom na vytváranie steha. Tieto formovanou časťou súčasť je myška, ktorá napája na rubnej strane diela. Ihla, ani väčšia súčasť súčasť nájdete je súčasťou protiahovania ako pri ručnom šítí, ihla a navädzanou súčasťou len zapiechne do diela v rovnakom smere, ale v opačnom smere vypiechne. Po vypiehaní z diela zanechá ihla za seba myšku na rubnej strane diela a tieto myšky musí byť pre správnu vytváranie stehu správne zachytené stehatvorným mechanizmom. Znielenie optimálnych povolení pri vytváraní myšky a jej zachytávanie je podstatou vytvorenia stehu strojom, teda najdôležitejším požiadavkou bude aj na ktorýkoľvek držací stroj. Súčasť požiadaviek je obdobou základného názoru strojového šítia.

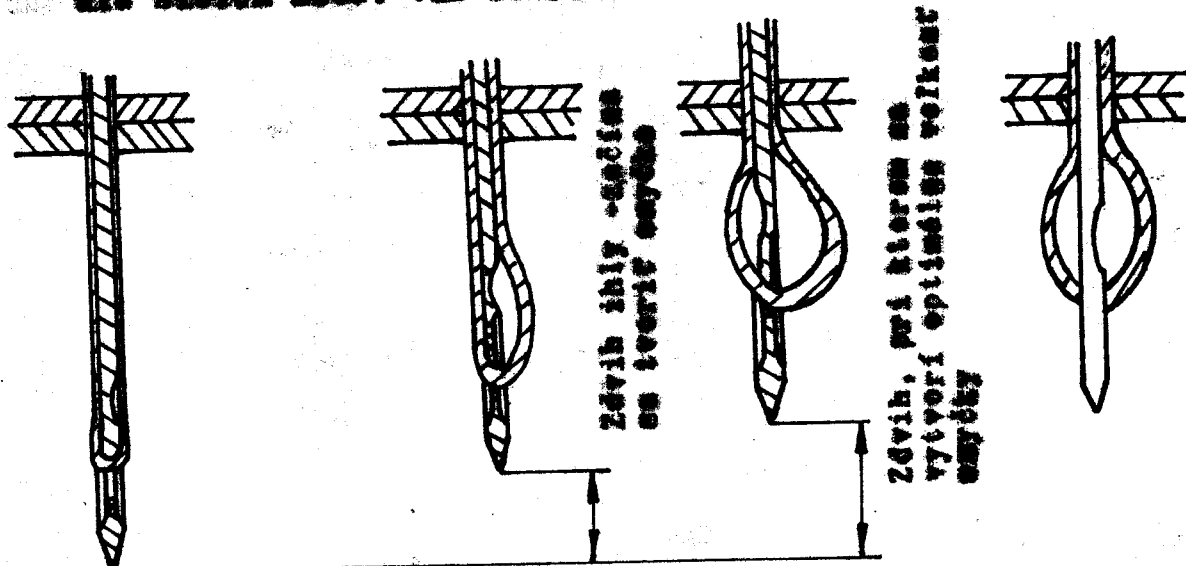
1.2. JAK LADIT CHOPACÍ SYSTEMLY

Vytvárané myčky je zaistené vložením štěva dřeva, který je k tomuto části vložen buňkovánem. Tato buňková typu má délku s hrabou a z jedné strany je vytváraná dlouhá dřívka /naučebná strana ihly/ a z druhé strany je krátká dřívka /chopací strana ihly/. Po vytváraní myčky musí tato vykonat vrátnej pohyb ze svého horního do spodnej úvrati. Akožnále pri tento pohybe preplňuje časť a dojde do svého spodnej úvrati pretiahne dŕšom i nit navlečenú v ušku. Pri tento pohybe nit k tiale prilíha. Aké pri spodnej pohybe ihly, on nit od svého zadného odklania a vytvára myčku. Ta je spôsobená rozdielajúcim dodávaním trávok súl medzi poschopou ihly, nito s preplňujúcim dŕšom. Pri pohybe ihly nahor je nit zavretá k zadnému časťi a so tiale a v dôsledku menšieho trávania ihly. Súj posútiť ihly uvedenej buňkováním /z chopalovou a návlečnou stranou/ je myčka tvorená len na chopalovej strane ihly. Dŕšom na naučebnej strane ihly totiž v sebe ukryté odpovedajúci dek. dřívky časť a k vzdialosti vzdialku trávok súl sa tejto strane ihly nedochádza. Tento rozdiel je súčinom výraznejšej na chopalovej strane ihly a proto je tiež myčka tvorená len na tejto strane.

Pohyb by bol možný ihla bez dřívky na naučebnej strane, ovšak by myčka mala obdržetih stranach ihly, čo je pre jaj zlepšenie stabilizovať mechanizmus menší vložek. Používania vytvárania myčky je praktický rozdiel pre všetky typy silných a pevných ihiel, veľmi zároveň je rôzny spôsob vytvárania myčky stabilizovať mechanizmus. Tu ak existuje veľké mechanické náťaženia, či sa sú tyto buňkovánia stabilizovať mechanizmus,

stebe uprostřed tak činnosti a s nimi vytvárajících provizor-

ních řetězích. Tím dochází:



Obr. 1.2/1

Stehňování anthonomy - chlapce s myškou: zde je vytvářet myšky ihlové nití tak, aby tato kuli vstávají proplazit, alespoň několik spodní nití, která je potom provázet s ihlovou nitou. Základní rozdíl v činnosti základních stehňovacích mechanismů teda tkví v tom, či je k vytvoření stehny použito kou jehadlo /ihlová/ nit, alespoň či je vytvořenou myškou ihlové nit přeťahován a spodní nit a to buď jej celé zasáhne alespoň vedenec fúrovací část.

Po dobu týkající se základních činností v spôsobu uprosťovania myšky ohlou rozdělit stehy do dvou základních skupin:

- a./ stehy vlažné
- b./ stehy retienkové
- c. podle počtu použitých nití do stehy: a./ jednou nitou
- b./ více nití

Tis je vlast číslem tejto předložky základním členem různých typů ovládání rotačních mechanismů, ani rovněž použitou tvrdou rotačních druhov stroje, alej proto bude popisován ten článek této ovládání mechanismu, který je využíván tímto a vytvářením stolu nejvíce příslušný ovládání mechanismu poskytující se stroji MÍKROTA T3001.

1.3. POSTUP VYTRUZENÍ SPOLEČNÉHO SHLAZOVACÍHO STOLU 401

Základem daného rotačního stroje 401 je vytrácející posuvnou kyvnoucí myškovou, který nesie spodní nástavec s zachycující myškou vrchní nástavec. Sdílení myškovou s ihlou a postup vytvářeního stolu určuje sledování na obrázku č. 1.3/1.

Smyčka ihlová nástavce vytrácejí při pohybu ihly se spodní dvojitou náhorní hrotu myškovou, opírávající se shodovou stranou ihly. Smyčkové výběžky vydávají ihlavu pohyb se smyčkou nástavce do pravé strany /stavu naprava/. Smyčka tedy souhlasuje při pohybu výprave s novouho znamení.

Obz. č. 1.3/1 a, b

Ihla se svírá do levé strany dvojti a v této její polohě se myškovou premostí z chapotové strany ihly se stranou nověho znamení. Tento pohyb je nutný pro vytváření myšky spodní nástavce nového myškovou. Tato myška je presepe geometrickým útvarem, který má tvar charakteristického trojúhelníku, jeho strany tvoří rameno myškovou, myška ihlová nástavce nověho znamení se stranou myškovou a spodní nástavce nového znamení v rámci stolu a určuje do výstupnice stolu hrotu myškovou. Plocha takto vytvářeného ihly, charakteristického trojúhelníku je

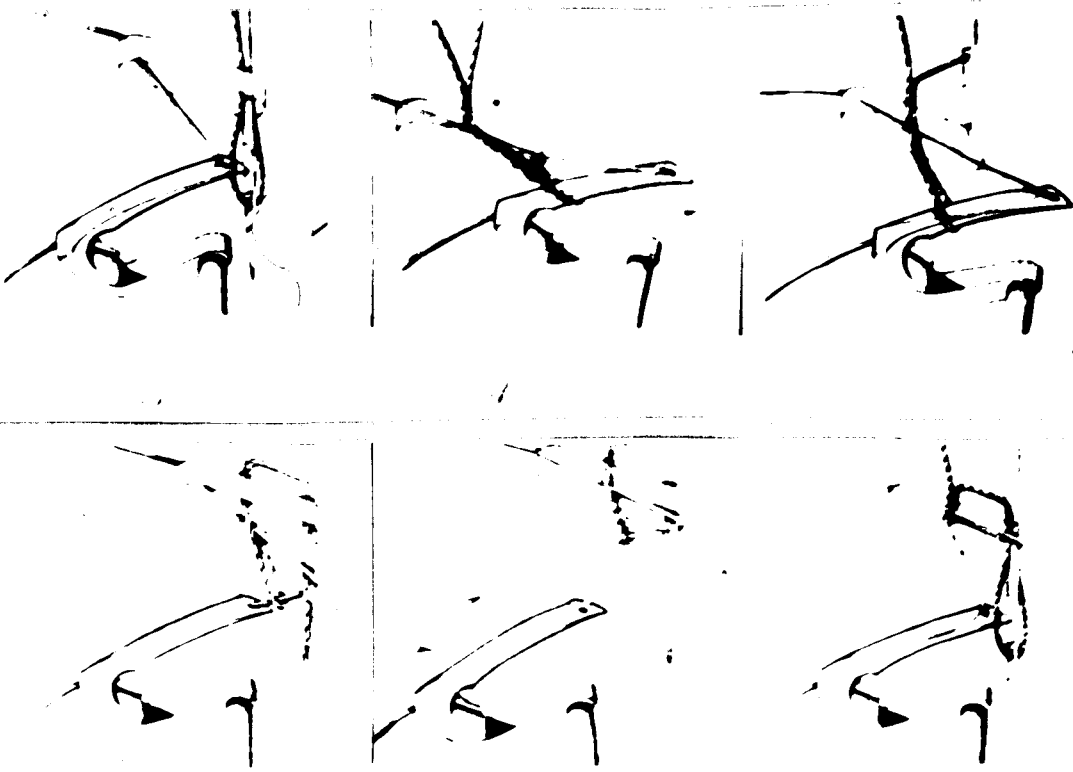
potom pretnutá ihlou, smerujúcou späť do dolnej úvratí.

Obrázok č. I.3/1 e

Smyčkovac sa potom pohybuje späť k svojej zadnej úvreti a myčka vŕchnej nite sa odpojuje z juho ihly. Spodná nite je nelehkotne na ihlu. Obrázok č. I.3/1 d

Pri ďalšom pohybe ihly od do jej spodnej úvreti sa rovňuje s počasie vŕchnej nite a ihla sa uchahuje. Obrázok č. I.3/1 e

Po dosiahnutí spodnej úvreti sa ihla opäť vracia hore a pri srovnajúcim pohybe novú myčku vŕchnej nite. Aby tieto niti boli bezpečne uskladnené musí sa myčkovac preniesť späť z nelehkej na chopačovú stranu ihly. Tento pohyb je vykonaný v zadnej úvreti myčkovca, potom ak bude myčkovac pohybať pre zahýbanie novej vŕchnej myčky vŕchnej nite. Obrázok č. I.3/1 f



Obr. I.3/1

6.4. SÚČASNÝ STAV VÝROBY KONFÉKČNÝCH DIÉLKOVACÍCH STROJOV

Pri výrobení otáčacieho stroja výroby konfekčných dielkovacích strojov bolo užito zamerie na to, že len na výrobu diera, ale aj zahraničné.

Konoplným výrobcem konfekčných dielkovacích strojov je v ČSR i v RVHP národný podnik MINERVA Šenkovice, závod O2 Prešov, alej sa výrobou týchto strojov zaúberajú západné firmy DETHOFF, SINGER, REXCE. Odlišnosť v prenosení strojov jednotlivých výrobcov je najlepšie odvtedia s porovnaním základných parametrov posledných typov strojov.

MINERVA 62761 - P2

Výkon - 1 300 otáčiek/min.

Sobáče diechy - po 1 pred užitím, zhore i zaspoda

Tvar diechy: a/ s očkami bez uzavretia 3x4 18-32 mm
3x5

b/ s očkami s klinovým uzáverom 3x4 18-32 mm
3x5

c/ bez očka s uzáverom 18 - 32 mm

d/ bez očka s bez uzáveru 9 - 40 mm

Výber tvaru diechy - výmenou tvárenej ruky

Steh - svařujúci, retiazkový, obnáškovací s vystúpanou nízkou

Ponditie - pre hrdlo konfekcia a pletenie

MINERVA 62761 - P3:

Pri rovnakom výkone výkonu ako min. výrobky operátora využívajú stroj MINERVA 62761 P2, novému vytvára tieto tvaru dieiek: a/ s očkami s pričným uzáverom 3x4 18 - 36 mm
3x5

b/ bez očka s pričným uzáverom 18-36 mm

BURGE 101 - 2 pedírieč.

Výkon - 1 200 otiekov/min.

Sekanie dielky - po 1 pred oditím

Tvar dielky - obrys bežných typov dielok osáline a galútu

Dĺžka dielky - až 30 mm podľa požiadavky stroja, bez ohľadu
pracovného

DURKOPP 553 - 2 pedírieč

Výkon - 1 420 otiekov/min.

Sekanie dielky - po 1 pred oditím

Tvar dielky: a/ s očkami bez uzáveru 2,4x6,7 10-60 mm
b/ s očkami s uzáverom 2,9x6,3 10-60 mm
c/ bez očiek a bez uzávera 10-60 mm
d/ bez očiek s uzáverom 6-60 mm

To je treba poznať, keďže roku 1976 firma DURKOPP vystavovala v Kolíne a/B nový typ stroja DURKOPP 553 o výkone 2 200 otiekov/min. a dĺžka dielky 50 mm.

SIMMER 200 II M2 / 200 II J10/31 pedírieč

Výkon - 1 400 otiekov/min.

Sekanie dielky - po 1 pred oditím

Tvar dielky - gľazný podľa požiadavky

Stroje MINERVA, BURGE, DURKOPP je možnosť používať u podobe
toto zo zdieľaného, ale napriekto možné odlišnosti v ich konštruk-
cii. Strojotvorení dôležitosťne u všetkých strojov je riedené
principom výrobky, ktorí sú v súvoje firmy SIMMER je výrobok myg-
tovalne vyrobený od materskejho hŕiba a pretož súvisia s vlastnos-
tami určenou.

Vývojom výroby konfekčných dielkovaciech strojov je súvis, tak i v súhraní s rozvojom značnej pozornosti, pretože sa stápejúcimi náročiami na kvalitu a estetickú úroveň odvodených výrobkov odporúčajú i nároky na kvalitu spracovania gombíkových dierok.

1.3 VÝVOJOVÉ TENDENCIE V ŠIJACEJ TECHNIKE

Mechanizáciu a automatizáciu šijacej výroby, je venované prednými svetovými výrobcami pozornosť už bezmála 20 rokov. Prvými šijacimi strojmi, o ktorých sa hovorilo ako o automatach, boli využívané riadené šijace stroje na zhotovenie gombíkových dierok na príslušenie gombíkov. Funkcie obaluhy tu bolo redukované len na viazanie diela a spustenie šijacieho cyklu a po došítí potom na odstránenie nití a vybratie diela. Vlastné šítie bolo potom riadené pomocou rukoväťových väčiek.

V období 60-tich rokov sa zamerali konštruktéri na vývoj špeciálnych strojov s "pravých automatom" a výsledkom boli šijacie linky. Vzhľadom k skutočnosti, že na nich neboli kladené ešte dnešné požiadavky a rozhodujúca bola nízka cena výroby, bol vývoj dospelý. Rýchlosť sa však ukázala, že automaty tohto typu trochu predchádzali dobu. Použitie konštrukčných prvkov kladlo vysoké nároky na obaluhu a údržbu, na nich bola závislosť spoločnosti funkcie aj produktivite alebo iného zariadenia. Taktiež nebola k dispozícii organizácia výroby a normalizácia na potrebnú úroveň. Preto sa pozornosť obrátila na mechanizáciu a automatizáciu jednotlivých šijacích operácií.

Značný kapacitní výkon je využíván otázkou kinematických a dynamických posuvů v průběhu dávkovacího procesu a výsledkem je neustálé zvýšování čistoty rychlosti a celkové spolehlivosti stroje.

Zaujímavou možností, která je v současné době predstavena výrobou, je použití přenosových robotů v dílčej oblasti.

Hlavním problémom, který komplikuje vložky smery dalšího vývoje v dílčej technice klasického typu, zostává tracová stabilita /elastickost/ textilních prestruktur, které je třeba upravit.

2.0 VLASTNÉ RIESENIE.

Poleautomatický dielkovací stroj Typ. T3-401

Poleautomatický dielkovací stroj T3-401 je určený pre vytváranie gombíkových dierok rôznych dĺžok a tvarov, očka s klinovým a priehľadným uzáverom, či tie klasických dierok bez uzáveru. Uzáta dierka je vytvorená dvojitém retiazkovým očkom a jednou vloženou výstužou nitou.

Na stroji môžeme dať rôzne tvary dierok len výškou očkovaj podložky a mož. Sú to tiež drahky dierok:

- 1/ Dierka s očkom bez prečítia 10-50 mm
- 2/ Dierka bez očka bez prečítia 10-50 mm
- 3/ Dierka s očkom s klinovým uzáverom 10-45 mm
- 4/ Dierka bez očka s klinovým uzáverom 10-45 mm
- 5/ Dierka s očkom s priehľadným prečítim 13-42 mm
- 6/ Dierka bez očka s priehľadným prečítim 10-42 mm

Všetky tvary dierok môžeme dať ako slope dierky bez premenenia a bez výstužnej nite. Stroj presekáva dierku pred učítim i po učítí, takže je možné na dom spracovať rôzne drahky konfekcie.

Výkon stroja - 2 200 otáčok/min.

Steh: dvojitéj retiazkový, obnáškovací, prípadne s výstužou nitoú

Hustota stehu - 5-20 1/10 mm

Šírka učítia: 2 - 4 mm

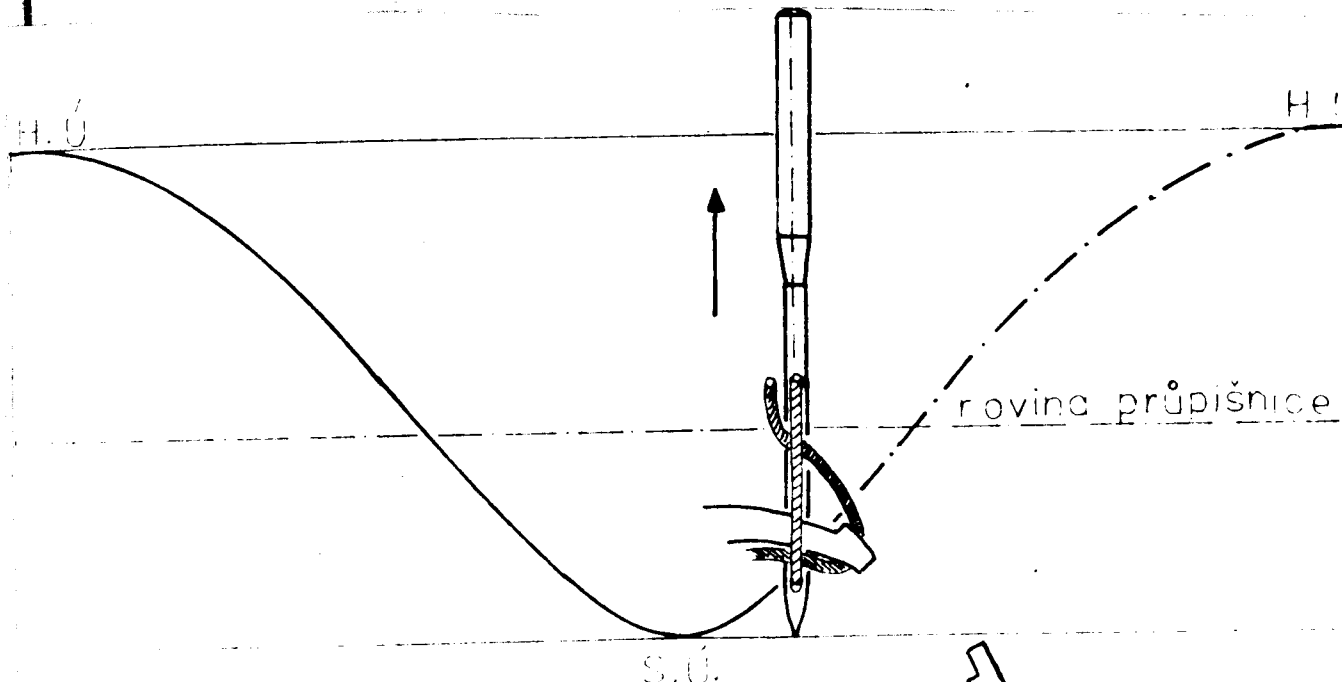
Srubka čítobého materiálu - do 6 mm

Výkon motora - 400 W, 220/1 400 otáčky/min

3.1. Postup sestavy steha.

K vytvoreniu steha je prídavný nášľapnikom a dvema myškovacími, prvým z ľavej, pritom ľavý vedie spodnú nit a druhou roztváračmi myšiek, o nichž jedno roztrára a pridržuje myšku thlovoj nitke, druhý spodnej nitky. Proces vytvorenia steha je možné rozdeliť približne do štych fáz:

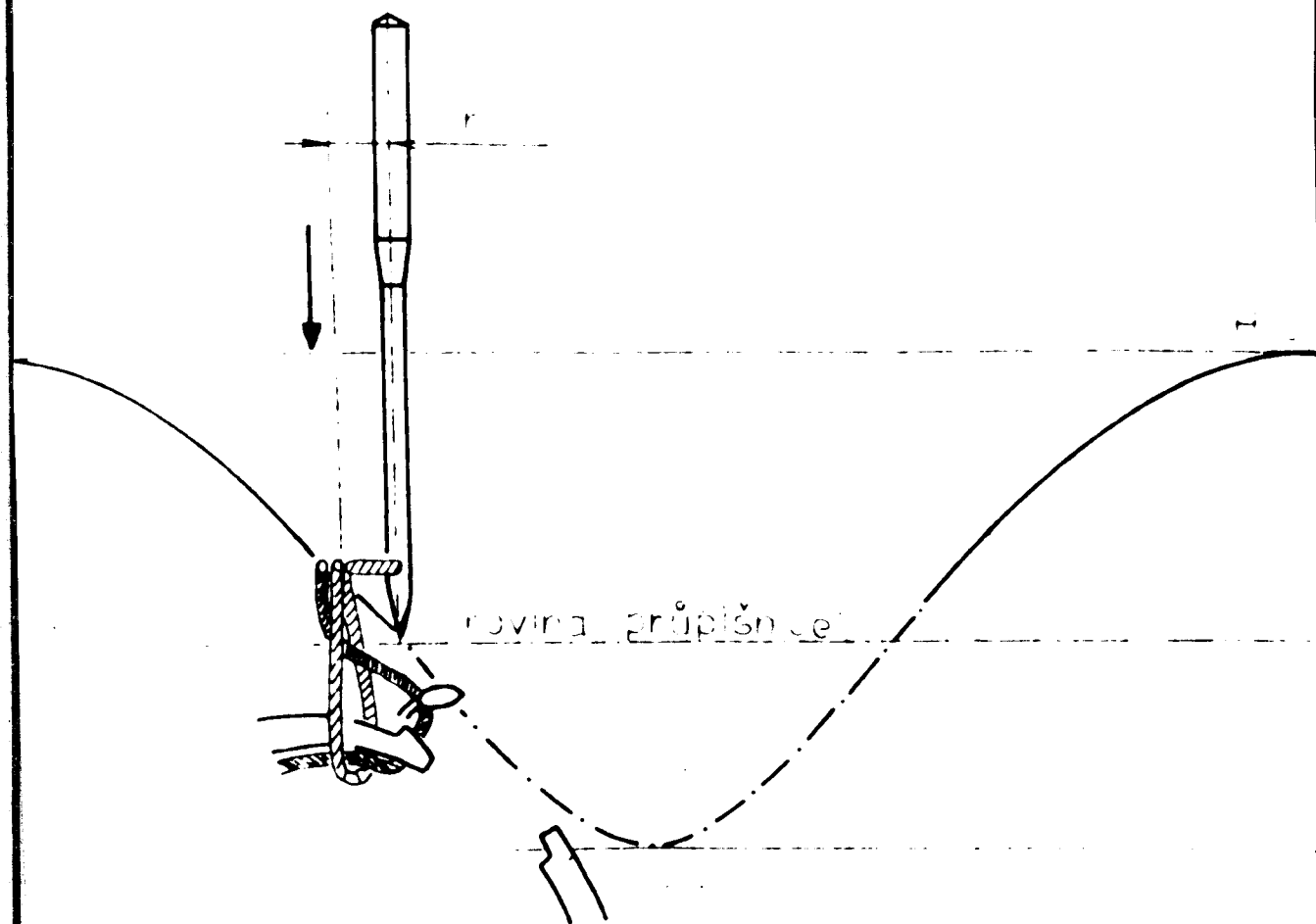
- 1/ Tria idem zo základného postavenia v hornej časti do dolnej vpravo prispôsobuje dñešku a prechádza cez oboma dolných nit. Prechádza spodnou časťou a končí pohyb opäť v hornej. Pri určitej odvleke /2,0-3 mm/ cez spodnej časti vytvára myšku, do ktorej vtedy ľavý myškňavat cez spodnu nitku a myšku odstráni.



Obr. 24/1

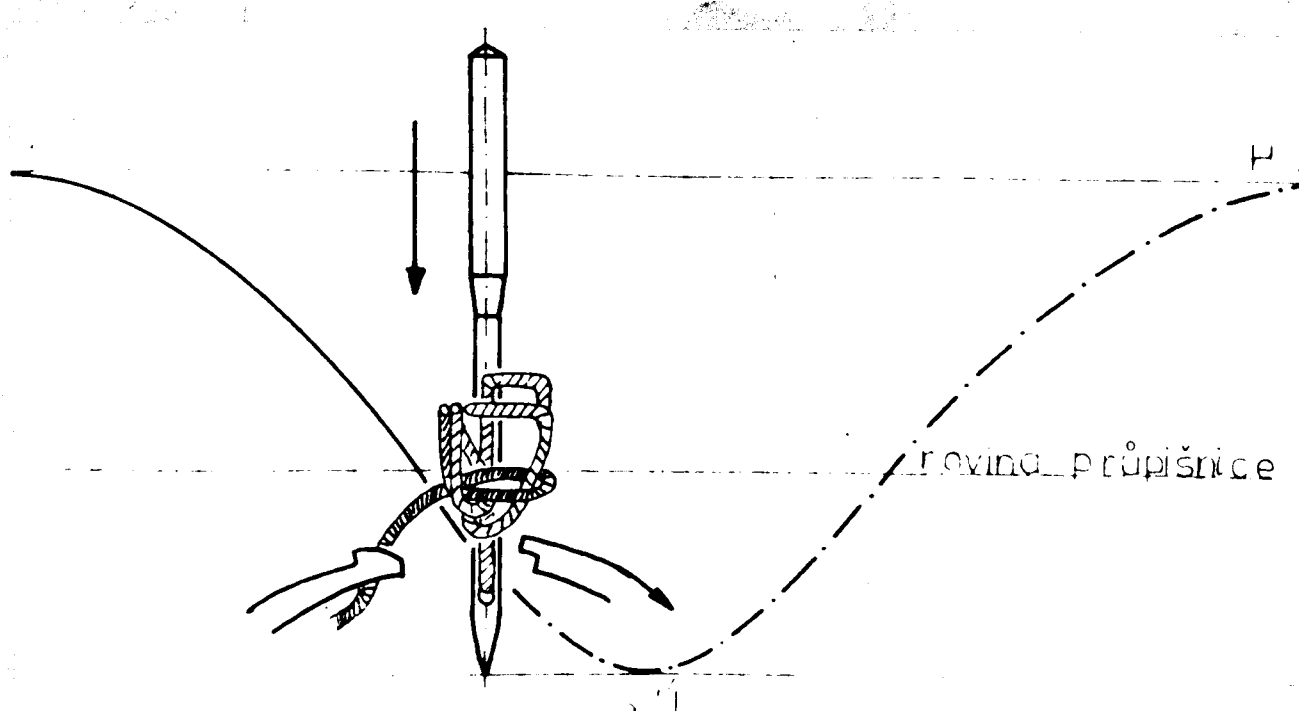
Lavý myškovanec pečačuje v pohybe dopredu, ihne zatiaľ vytrháva a diská. Keď je iba zdržaná dostatočne vysoké nad dielem, začne vykonávať straorý pohyb odvodený s podľomu diele.

2/ Lavý myškovanec dokončí zatiaľ pohyb do svojej krajsnej pozícii polohy a týmto i uvoľní myšku vrahnej nite. Otvárať spodnej nite vytrhá a prebiehačej spodnej akie charakteristický trojuholník, určujúci ich smerok. Do tabuľky trahodníka potom zapísahajú ihne po svojom stretnutí vytrháce pohybu do opačnej dveratí.



Revína grúpiš

3/ Spodná nit je uvoľnená rýchlym pohybom ťažkého myčkovacieho defektu a následne pohybom otváracia. Zostáva zachytenej ihla a myčka vrchnej nite je uťahovaná do vŕtaného priestoru, keď pravý myčkovací je prenášaný pred ihlu.

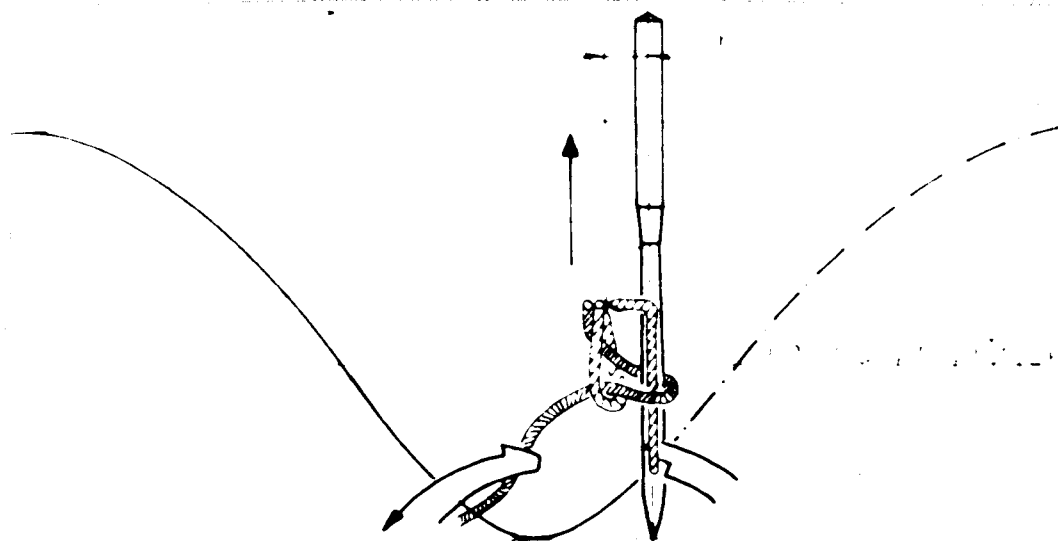


Obr. 2.1/3

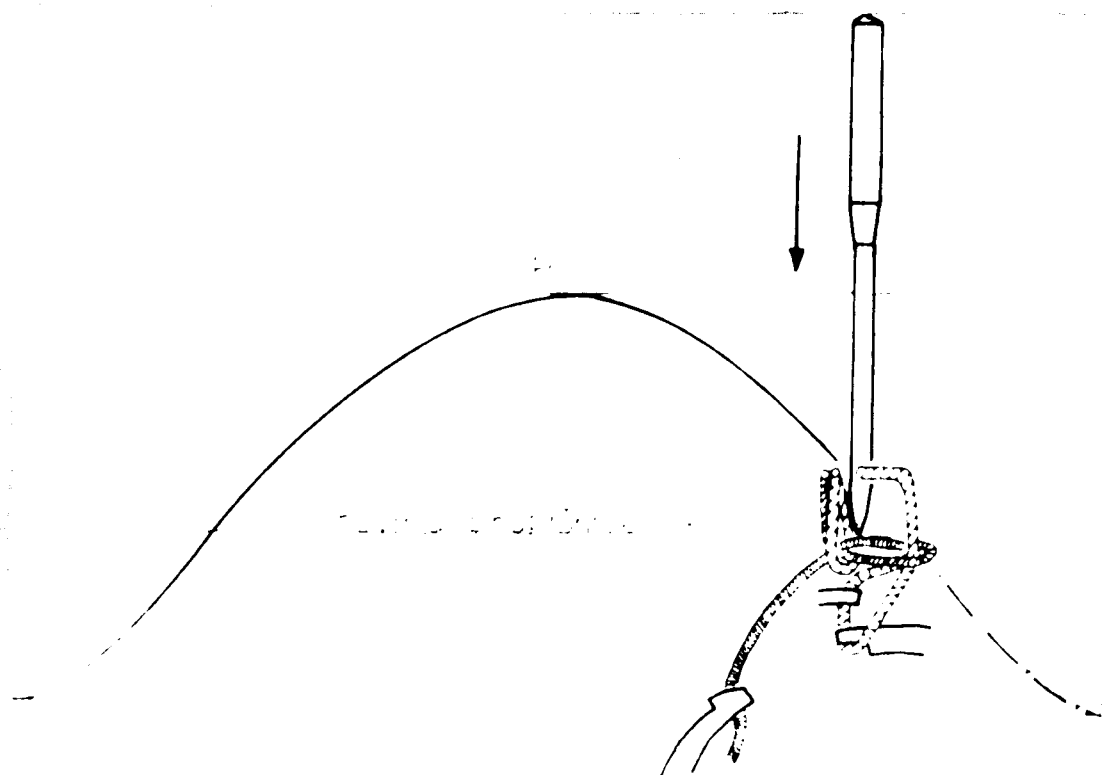
4/ Ihla ďalej pokračuje so svojou pohybou po spodnej čiare do záviba potrebného pre vytvorenie optimálnej myčky, do ktoréj vnikne pravý myčkovací a myčku zachytí.

5/ Pravý myčkovací pokračuje v pohybe dolava, ihla ide zároveň nahor. Pri dostatočnej výške nad dielem sa ľahko vybaľovať zo stredovej polohy do polohy stradového vŕtania bez podnetu dieľa. V dobe zapichnutia ihly do dieľa v stredovej polohi je ukončené prenášanie myčky pravým myčkovacom do jeho ľavej

krájají vrstvu s otevřenou smyčkou vrtanou sítí do ušedna
rost rovněž s průchodem každé smyčky k zahýbané síti.

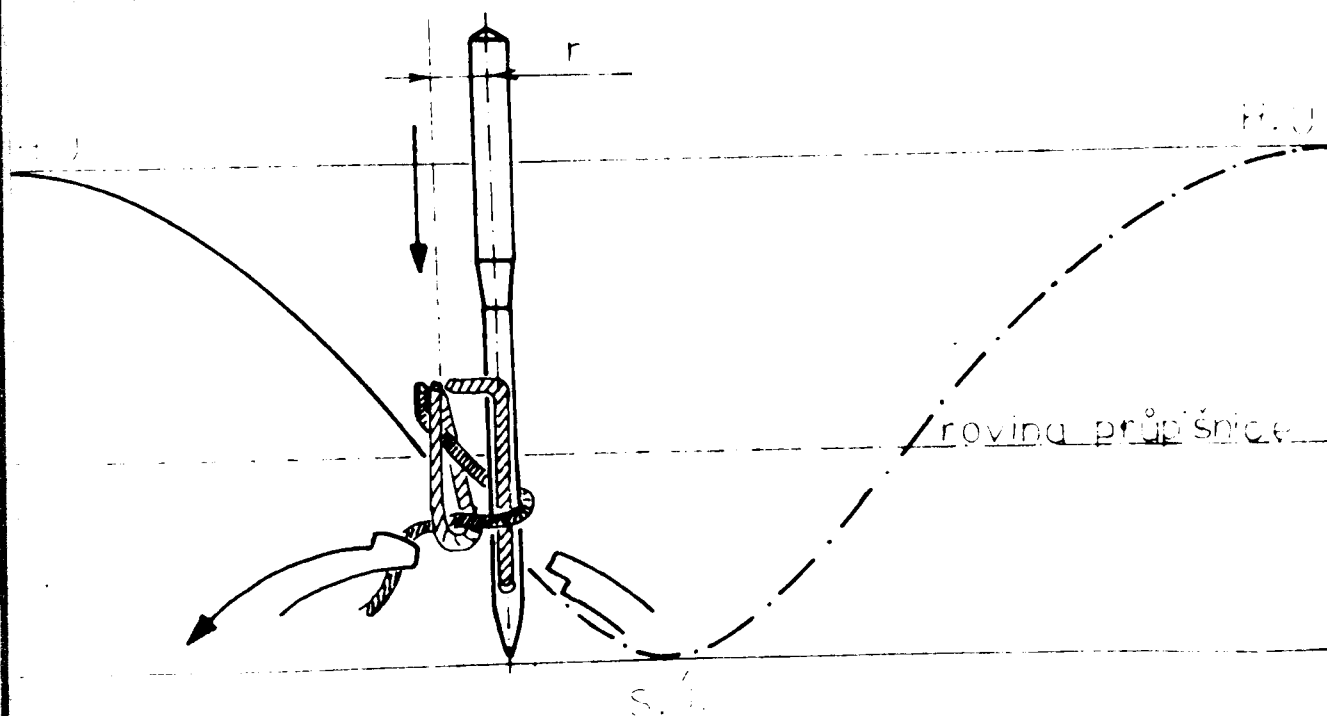


Obr. 2.1.7



Obr. 2.1.8

6/ Po zasúvani omývky ihlos bude pravý omýváček rýchly po-
byt vpravo, za čočkom uvolnenia omývky, juho prednáde ihla
a zasúvanie omývky hornej nite vytvorený ihlos v stredo-
vej vŕšku novým omýváčom. Stih sa učinuje a nasleduje
opakovanie celého popísaného cyklu tvorby otoku.



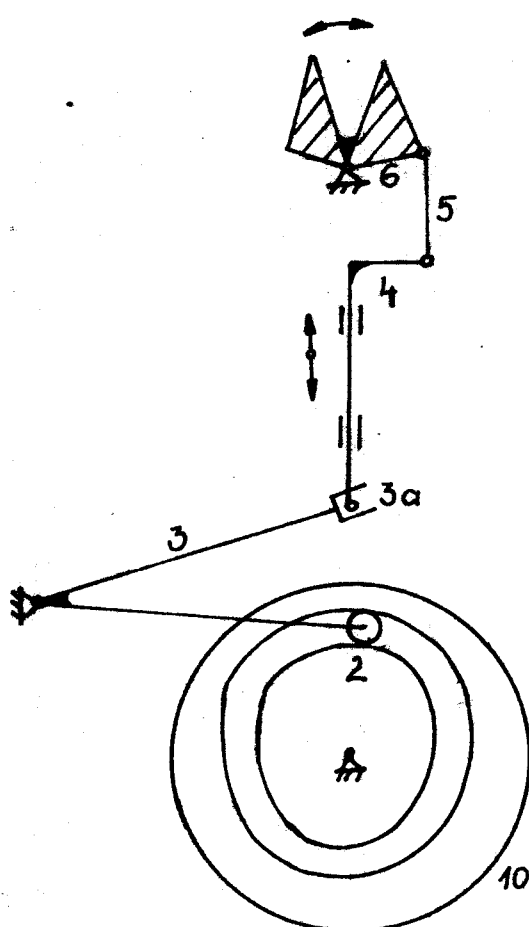
Obr. 2.1./6

Oliver Štefan

3.3. MECHANIZM ZACHYTIENIA SIEČKY

Schéma mechanizmu záchrany myčkovateľov

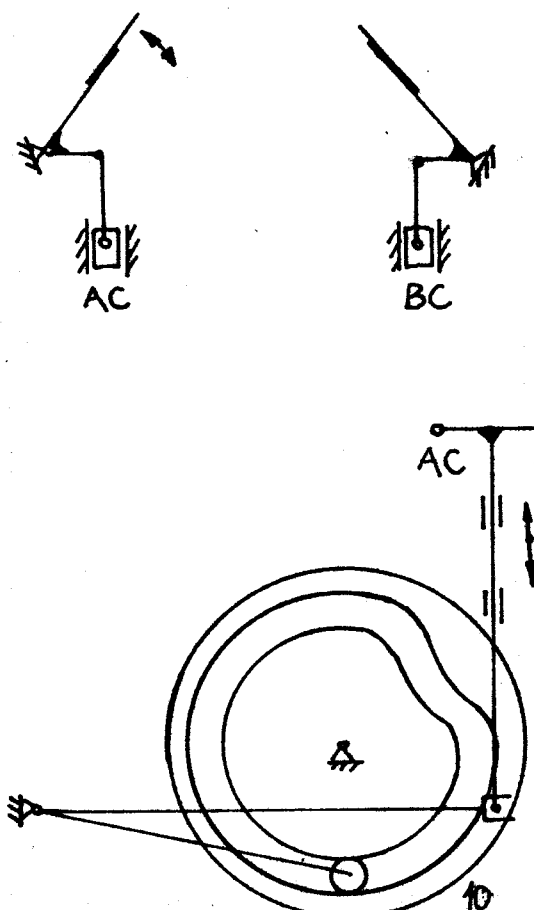
Uhlová paha 3 je pri otáčaní kotúče 10 vychýľované vedením kladíčky 2 v držke 1. Tento pohyb sa prenáší cez valčekmi 3a a valčekmi 4,5 prevedený na hývavý pohyb nosiča myčkovateľov 6.



Obr. 3.3/1

Schéma mechanizmu roztváračov siečky

Roztváračy sú ovládané endotaktickým spôsobom ako mechanizmus pre pohyb myčkovateľov.



Obr. 3.3/2

3.3. APROXIMACIA FUNKCIEI

Pri approximácii funkcie, ktoraj hodnoty v nejakej poslupnosti bodov sú obvyklejšie zadané len empirický a sú teda zatažené chybami, ktoré môžu byť dve rôzne. Preto bude zamestnanie závažnym zdrojom chyby a často výsledok rozhodujúci. V prípade, že máme funkčné hodnoty počítat na piatu číslo slovo /napr. na 10 desatinových miestach/ súčinného počítania, takže zamestnanie chybe bude malá. Pri approximácii pomocou najmenších štvorcov sa z funkčných hodnôt zatažených "čumom" zamestruje "bladká" approximácia funkcie. Tejto hľadanej approximácii je možné potom použiť napr. k approximácii derivácie funkcie.

3.3.1. Approximacia r/y/ radiu chapeku, otváreku

Ide o approximáciu funkcie pomocou polynoma 5 stupňa.

$$x = \gamma \quad y = r$$

$$y = y_i + y'_i(x - x_i) + \frac{y''_i}{2}(x - x_i)^2 + \frac{y'''_i}{6}(x - x_i)^3 + \\ + \frac{y^{(IV)}_i}{24}(x - x_i)^4 + \frac{y^{(V)}_i}{120}(x - x_i)^5 \quad (1)$$

$$x \in (x_i; x_{i+1})$$

$$\Delta(x_i) = y_i - \bar{y}_i \quad \bar{y}_i \dots \text{zadaná hodnota}$$

Vypočítané hodnoty derivácií pre chapek a otvárek - výsledky sú v prílohe 3 str. 1-9

Tabela 1

x_1	0	35	50	57	70	85	120
Extremní hodnota Δ v daném in- tervale	$\Delta/13/-0,010$	$\Delta/50/-0,000$	$\Delta/53/-0,025$				
		$\Delta/38/-0,000$	$\Delta/53/-0,000$	$\Delta/104/-0,047$			
110	135	150	220	230	247	262	278
$\Delta/122/-0,000$	$\Delta/190/-0,014$	$\Delta/241/-0,002$	$\Delta/269/-0,012$				
	$\Delta/153/-0,010$	$\Delta/230/-0,010$	$\Delta/250/-0,048$	$\Delta/283/-0,046$			
288	298	308	328	338			
$\Delta/289/-0,004$	$\Delta/322/-0,003$						
	$\Delta/361/-0,015$	$\Delta/351/-0,014$					

Tabela 2

x_1	0	35	50	65	80	104	120	208
Δ	$\Delta/22/-0,001$	$\Delta/51/-0,000$	$\Delta=0$				$\Delta=0$	
		$\Delta/40/-0,002$	$\Delta/66/-0,000$	$\Delta/115/-0,037$				
208	220	240	257	268	300	330	360	
$\Delta/213/-0,040$	$\Delta/251/-0,032$	$\Delta/284/-0,009$			$\Delta=0$			
	$\Delta/227/-0,031$	$\Delta/285/-0,007$	$\Delta/324/-0,000$					

Pro approximaci průseku obidvoch vaček platí:

$$|r(Y_j) - \bar{r}(Y_j)| < 0,07 \text{ mm}$$

Výpočet byl proveden na počítačem počítače "PACINE"

✓ SVÚT Liberec.

Ročnoty novej výtlakovej vačky chapače a otváraču v porovna-
ní so starou sú v prílohe I str. 10-19. Grafy 3,4 príloha 2.

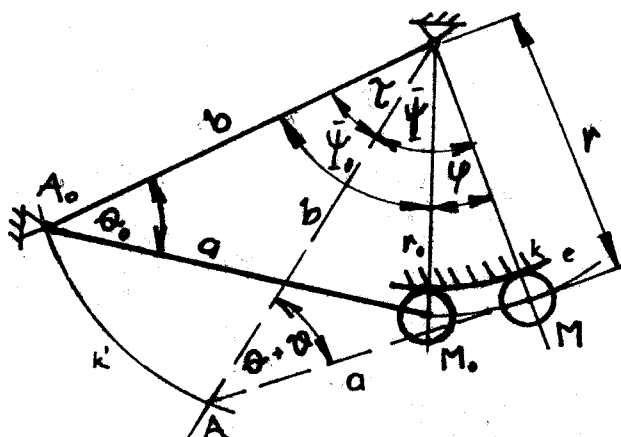
2.4. Výpočet kinematických parameterov

Výpočet uloženého postavenia väčšieho v φ ako funkcia postavenia väčky γ .

V poligonej poloche mechanizmu od danej miery a, b, r_0 . Pri posúvacom sa väčky γ nebude súhlasie s recíprokou pohybu ψ .
Na v nasom prípade závisí o hodnote φ .

Na obrázku 2.4/1 je miesto súčasne väčky sledovaný recíprokym pohybem väčšieho. Bod A_0 sa pritom pohybuje po kružnici K' a bod B po okvidistente e k obrysom k väčky.

K dišpejzii od polárneho odreduces φ, r . Výpočet provádzame podľa nasledujúcich závislostí.



Obr. 2.4/1

Výhodzko parametre: a - dĺžka väčšieho

b - vzdialenosť súčasnych bodov väčky
a väčšieho

φ, r - polárne odreduces väčky

$$\theta = \arccos \frac{a^2 + b^2 - r^2}{2ab}$$

$$\theta_0 = \theta(r_0)$$

$$\bar{\psi} = \arccos \frac{b^2 + r^2 - a^2}{2br}$$

$$\bar{\psi}_0 = \bar{\psi}(r_0)$$

$$\tau + \bar{\psi} = \varphi + \bar{\psi}_0$$

$$\tau = \varphi + \bar{\psi}_0 - \arccos \frac{b^2 + r(\varphi) - a^2}{2br(\varphi)}$$

Systém vzhľadom je daná funkcia r/φ , a hodnotám a, b, mechanizmu prirodzený zber postôčenia vlnky $\tau = \tau(\varphi)$

Pre stanovenie hodnot inverznej funkcie použijeme iteračnú metódu.

τ_0 ... predpísané hodnoty vlnky postôčenia vlnky
 φ ... ľubovoľná

$$\tau_0 - \tau(\varphi_k) = \varphi_{k+1} - \varphi_k$$

$$\varphi_{k+1} = \varphi_k + \tau_0 - \tau(\varphi_k)$$

Počiatok cyklu $\varphi_0 = \tau_0$

Ukončenie iterácie pre $|\tau_0 - \tau(\varphi_n)| \leq 1 \cdot 10^{-6}$

$$\varphi_0 = \varphi_n$$

Po tomto výpočte je ak možno stanoviť:

$$r_0, \theta_0, \dot{\varphi}_0 = \dot{\theta}_0 - \dot{\theta}_0$$

Osoboj je treba určiť:

$$\frac{d\theta}{d\tau}$$

$$r^2 = a^2 + b^2 - 2ab \cos \theta$$

$$2rdr = 2ab \sin \theta d\theta$$

$$\frac{d\theta}{dr} = \frac{r}{ab \sin \theta}$$

$$\tau + \bar{\psi} = \varphi + \bar{\psi}_0$$

$$d\tau = d\varphi - d\bar{\psi}$$

$$a^2 = b^2 + r^2 - 2br \cos \bar{\psi}$$

$$0 = 2rdr - 2bdr \cos \bar{\psi} + 2br \sin \bar{\psi} d\bar{\psi}$$

$$d\bar{\psi} = \frac{b \cos \bar{\psi} - r}{br \sin \bar{\psi}} dr$$

$$d\bar{\psi} = \frac{\frac{b^2 + r^2 - a^2}{2r} - r}{ba \sin \theta} dr$$

$$d\bar{\psi} = \frac{b^2 - a^2 - r^2}{2abr \sin \theta} dr$$

$$d\bar{\psi} = \frac{2abc \cos \theta - 2a^2}{2abr \sin \theta} dr$$

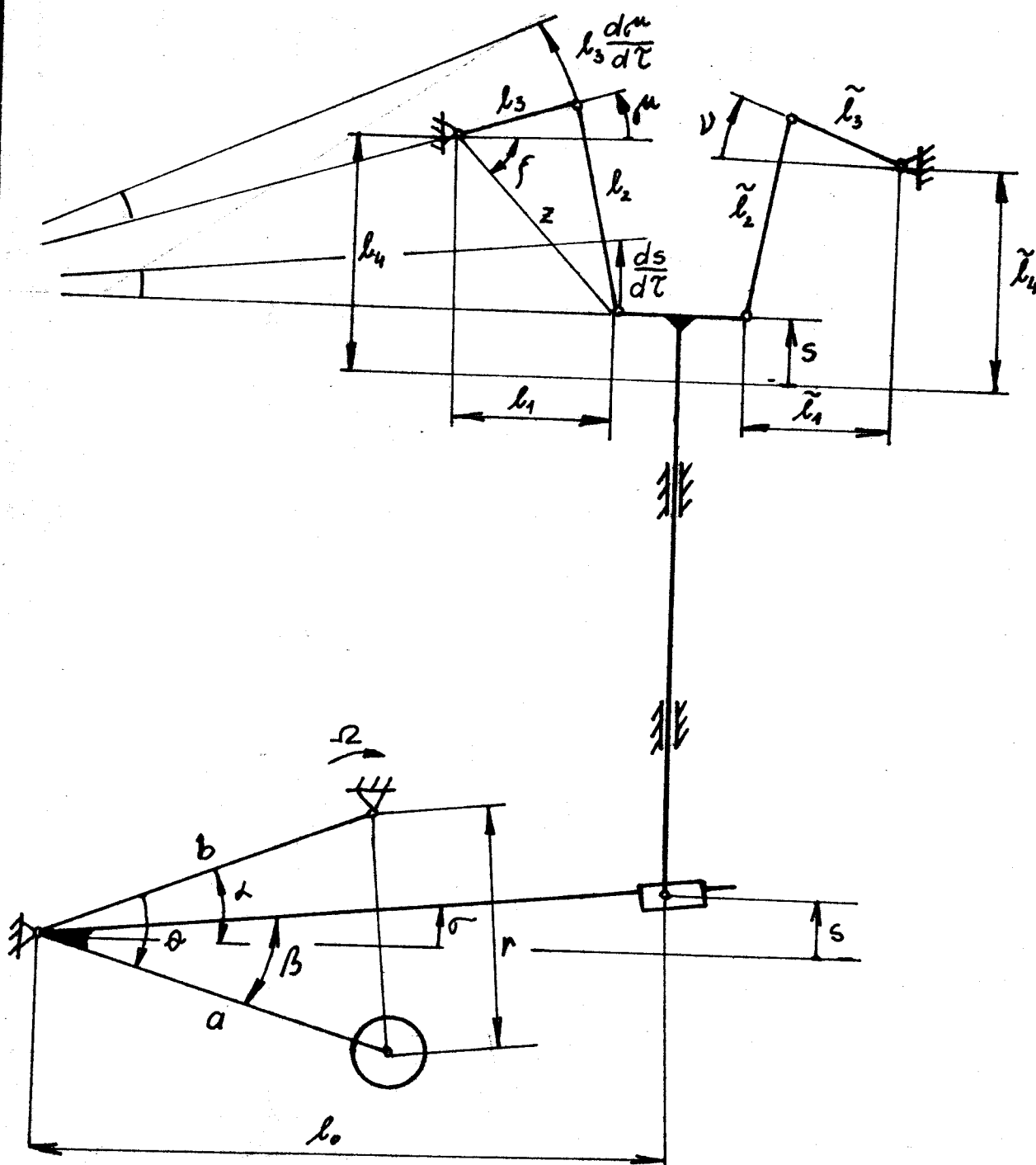
$$d\bar{\psi} = \frac{b \cos \theta - a}{br \sin \theta} dr$$

$$\frac{d\theta}{d\tau} = \frac{\frac{rdr}{ab \sin \theta}}{d\bar{\psi} - \frac{b \cos \theta - a}{br \sin \theta} dr}$$

$$\frac{d\alpha}{d\tau} = \frac{dr}{d\tau} = \frac{\frac{r^2}{a} \cdot \frac{dr}{d\bar{\psi}}}{br \sin \theta + (a - b \cos \theta) \frac{dr}{d\bar{\psi}}}$$

3.5. Chodové stroje

Vypočet rychlosti a směru pohybu a pravde otáčky.



$$a = 41,5 \text{ mm}, \quad b = \sqrt{40^2 + 12^2}, \quad r_0 = 24$$

$$\alpha = \arctan \frac{12}{40}, \quad \beta = 17^\circ, \quad l_0 = 60,1 \quad [\text{mm}]$$

$$l_1 = \tilde{l}_1 = 9, \quad l_2 = \tilde{l}_2 = 30, \quad l_3 = \tilde{l}_3 = 9, \quad l_4 = 30, \quad \tilde{l}_4 = 31,5$$

$$\sigma = \vartheta - \alpha + \beta , \quad \frac{d\sigma}{dt} = - \frac{d\alpha}{dt}$$

$$s = l_0 \lg \sigma , \quad \frac{ds}{dt} = \frac{l_0}{\cos^2 \sigma} \frac{d\sigma}{dt}$$

$$z = \sqrt{l_1^2 + (l_4 - s)^2} , \quad \xi = - \arclg \frac{l_4 - s}{l_1}$$

$$\mu = \arccos \frac{l_3^2 + r^2 - l_2^2}{2 l_3 r} + \xi$$

$$l_3 \frac{d\mu}{dt} = \frac{\frac{l_4 - s + l_3 \sin \mu}{\sin \mu}}{l_1 + \frac{l_4 - s}{\lg \mu}} \frac{ds}{dt}$$

$$l_3 \frac{d\mu}{dt} = \frac{l_4 - s + l_3 \sin \mu}{l_1 \sin \mu + (l_4 - s) \cos \mu} \frac{ds}{dt}$$

$$\frac{d\mu}{dt} = \frac{1}{l_3} \cdot \frac{l_4 - s + l_3 \sin \mu}{l_1 \sin \mu + (l_4 - s) \cos \mu} \cdot \frac{ds}{dt}$$

$$v = \tilde{\mu} , \quad \frac{dv}{dt} = \frac{d\tilde{\mu}}{dt}$$

Druhé derivace $\frac{d^2\theta}{dt^2}, \frac{d^2\sigma}{dt^2}, \frac{d^2s}{dt^2}, \frac{d^2\mu}{dt^2}, \frac{d^2v}{dt^2}$ at

aproximované druhou symetrickou differencíou. $\Delta t = 5 \cdot 10^{-3}$.

Tabulky výpočítaných hodnot získané z počítače "PAGINA" at v příloze 1 strana 20-31.

Grafy tabulkových hodnot at v příloze 2. Grafy 5, 6, 7, 8.

2.8. Grafický výpočet rýchlosťi a zrychlenia s choperovacím mechanizmom

Týmto je prevedené pôvodné konštrukčné.

Mierky: dĺžka ... $\lambda = 1000 \frac{\text{mm}}{\text{m}}$ $\lambda = \frac{l_{\text{pop.}}}{l_{\text{skut.}}}$

rýchlosť ... $\beta = 2,5 \frac{\text{mm}}{\text{m} \cdot \text{s}^{-1}}$ $\beta = \frac{v_{\text{pop.}}}{l_{\text{skut.}}}$

zrychlenie ... $\gamma = \frac{\beta^2}{\lambda} = 0,625 \frac{\text{mm}}{\text{m} \cdot \text{s}^{-2}}$

$P_{32} \dots \vec{v}_{31} = \vec{r}_{21} \quad (N_{32} = 0)$

$N_{21} = \omega_{21} \cdot \overline{P_{32} \cdot O_{21}} \quad O_{21} \equiv S_B$

$\overline{P_{32} O_{21}} = 10 \text{ mm} \quad l_{\text{skut.}} = 10 \text{ mm} = 10 \cdot 10^{-3} \text{ m}$

$\omega = \frac{2\pi n}{60} = 130,899 [\text{s}^{-1}]$

$N_{21} = 130,899 \cdot 10 \cdot 10^{-3} = 1,3189 \text{ m/s}$

$t_{32} \dots$ Bobilierova
konštrukcia

$$\vec{a}_{31} = \vec{a}_{32} + \vec{a}_{21n}$$

$$\begin{matrix} \nearrow t \\ \downarrow t \\ \xrightarrow{x} \end{matrix}$$

④ $\vec{v}_{41} = \vec{v}_{43} + \vec{v}_{31}$

$$\begin{matrix} \nearrow x \\ \downarrow y \end{matrix}$$

$$\vec{a}_{41t} = \vec{a}_{43} + \vec{a}_{31} + \frac{\vec{a}_c}{2N_{33} \cdot \omega_{31}}$$

51: $a_c = a_0$

$N_c = N_0$

$$\vec{N}_E = \vec{N}_{EO} + \vec{N}_D$$

$$\begin{matrix} \nearrow n \\ \downarrow r \end{matrix}$$

$$N_{sk} = \frac{v_{\text{pop.}}}{\beta} = \frac{34}{25} = 1,36 \text{ m/s}$$

$$\vec{a}_E = \vec{a}_{ED} + \vec{a}_D$$

h t h t

$$a_{E_{pop}} = 130,5 \text{ mm}$$

$$a_{D_{pop}} = 66 \text{ mm}$$

$$a_{E_{sk}} = \frac{130,5}{0,625} = 208,8 \text{ m/s}^2$$

$$a_{D_{sk}} = \frac{66}{0,625} = 105,6 \text{ m/s}^2$$

$$\omega_{s1} = \frac{v_E}{EO_{71}}$$

$$\epsilon_{s1} = \frac{a_{E_l}}{EO_{71}}$$

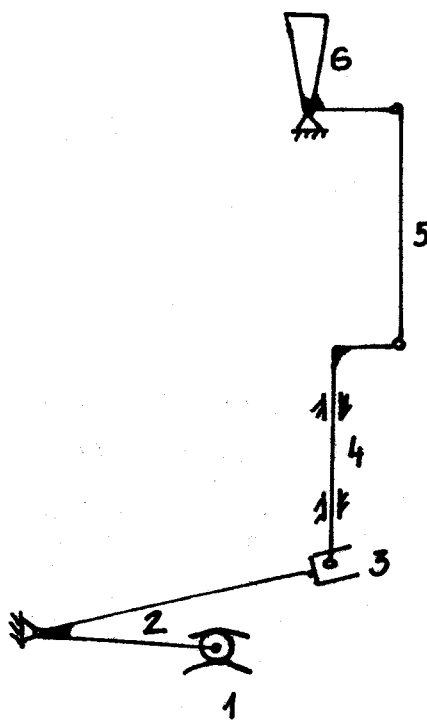
výkres grafického výpočtu rýchlosťi a zrychlenia u chapčového mechanizmu je v prílohe 3.

2.3. Výpočet dynamických momentov. Jeden z riešení.

Pri dynamickom výpočte bude musie uvažovať dynamické voličiny levého otvárača, pretože pravý otvárač a posuv a lisy sa myšľajúce sa riešia rovnakým spôsobom. Pretože nás sú k dispozícii súčasnosti ešte modely súčiastok, nemôžeme experimentálne určiť momenty zotrvačnosti.

Ide o súčasnosti, ktoré majú celosíu zložitý tvar, preto automatické riešenie momentov zotrvačnosti by bolo tak rozsiahle, že by prekročovalo rámec tejto práci. Preto bude výpočet dynamických voličín provedený len teoreticky a posúkaním na spôsob riešenia.

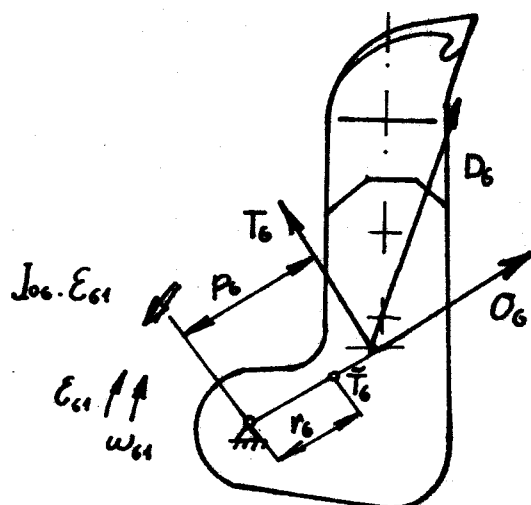
Statické momenty a pasívne odvery je možné zohľadať k vefui vysokým hodnotám zrýchlenia zanedbať. Príklad riešenia provedene pre uhol otvorenia valky 50° , pretože v tomto mieste sa mechanizmus pohybuje na jvádšom zrýchlení.



Sada podkladu statostatické metódy a čísla jednotlivých členov bude superpozovaná na relatívku člena 6.

Přípravné zpracování

Dynamické čísky člena 6 - uvažujeme, že člen je hmotný
a ostatně nehmotný.



$$1. \quad O_6 = m_6 r_6 \cdot \omega_{61}^2$$

$$2. \quad J_{61} \cdot E_{61} = p_6 \cdot T_6 \Rightarrow p_6 = \frac{J_{61} \cdot E_{61}}{T_6} = \frac{J_{61}}{m_6 r_6}$$

$$3. \quad T_6 = m_6 \cdot r_6 \cdot E_{61}$$

E_{61} - uhlové zrychlenie

J_{61} - moment nezávratnosti

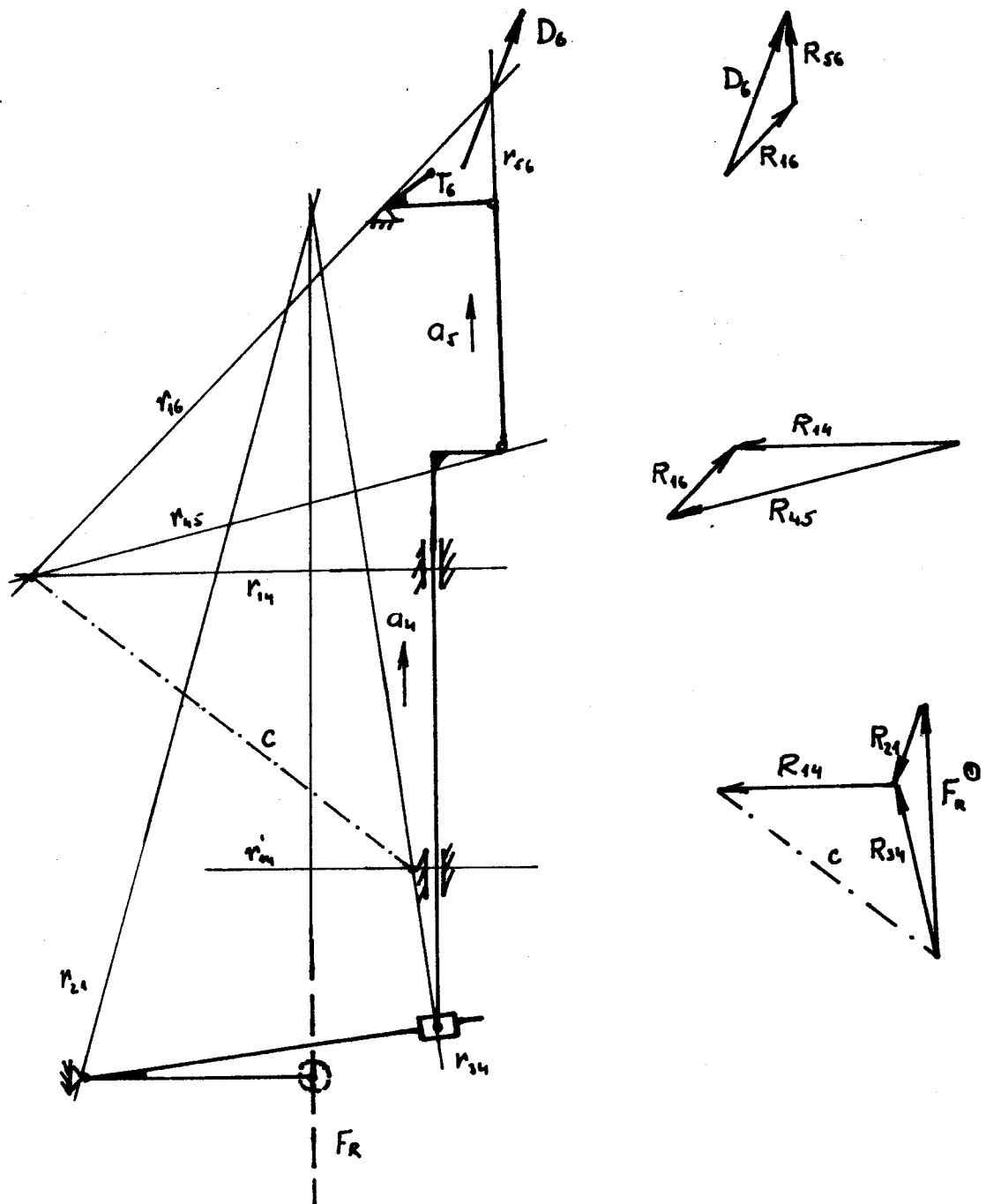
O_6 - odstredivá gravitačná sila

T_6 - dotyčnicová doplnková dynamická sila

D_6 - výsledná doplnková dynamická sila

Prvou superpozíciou dostaneme čiastočnú silu F_R^1 , ktorá pôsobí na rotačku člana 2.

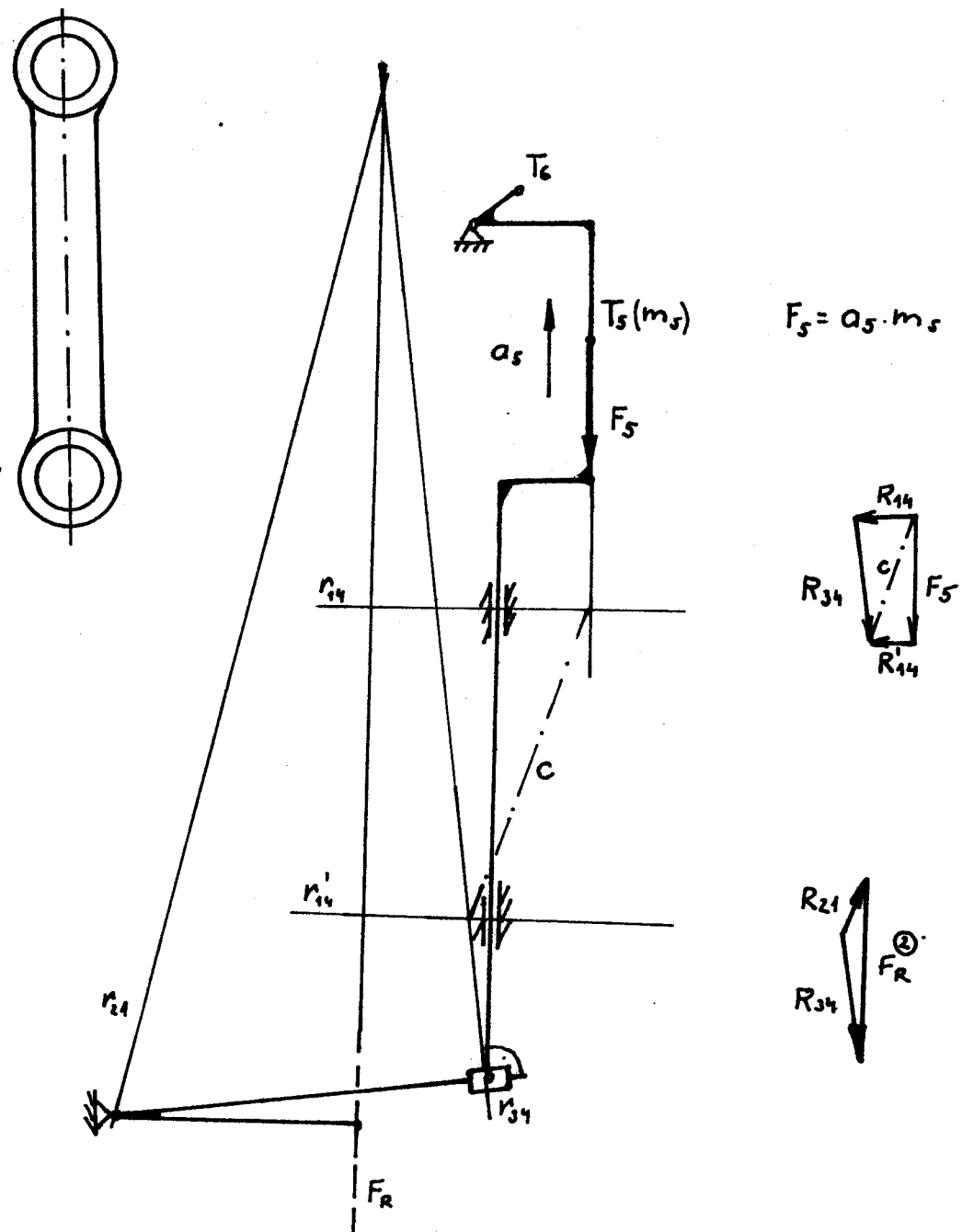
$r_{16} \dots$ nosičtecky hľadávych reakcií



Pryžné zlepšenie

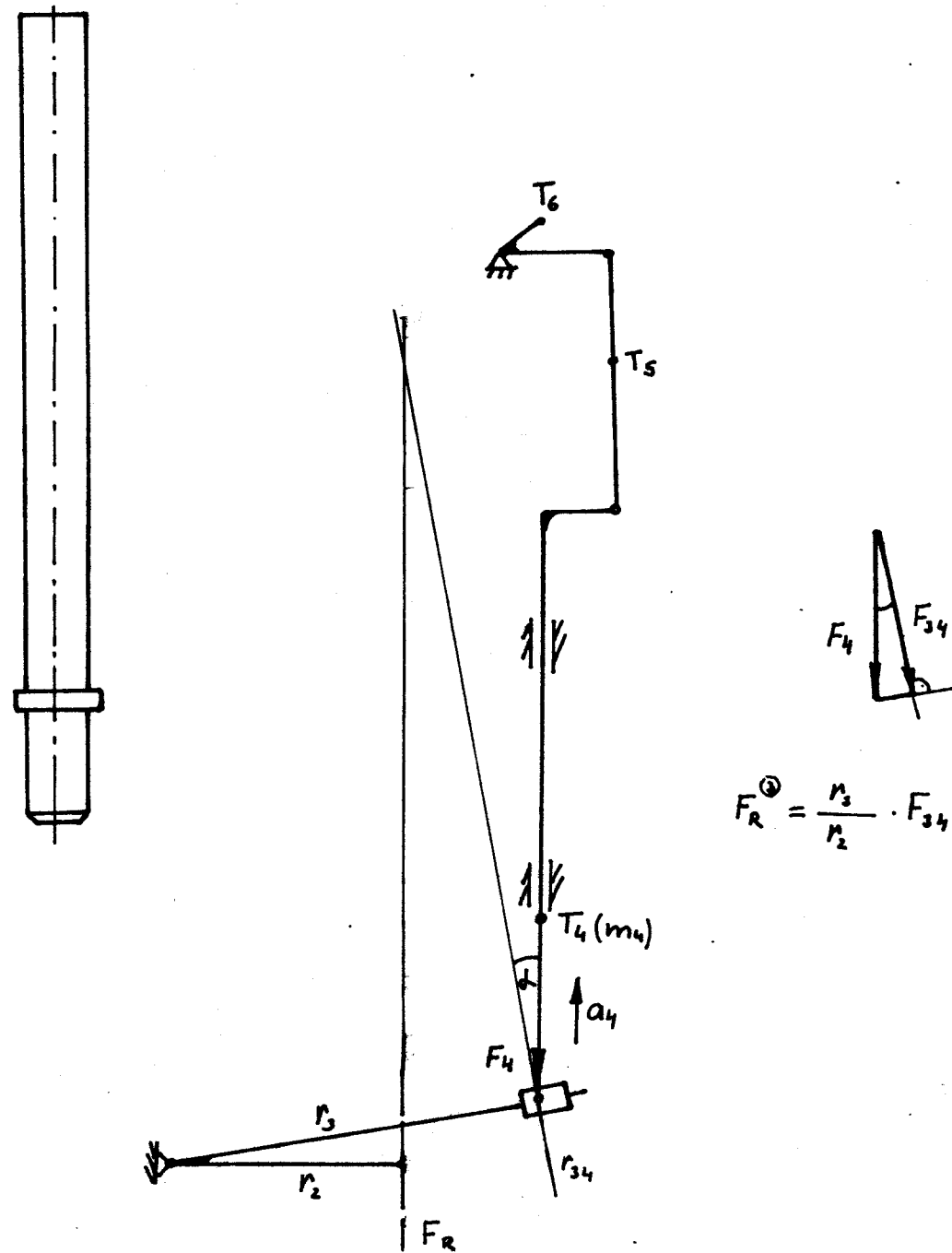
Dynamické účinky člena 5.

Člen 5 kona posunutý pohyb, so zrýchlením a_5 s zanedbateľným
kvetavým pohyb a veľmi malým ohľadom zrýchlenia.



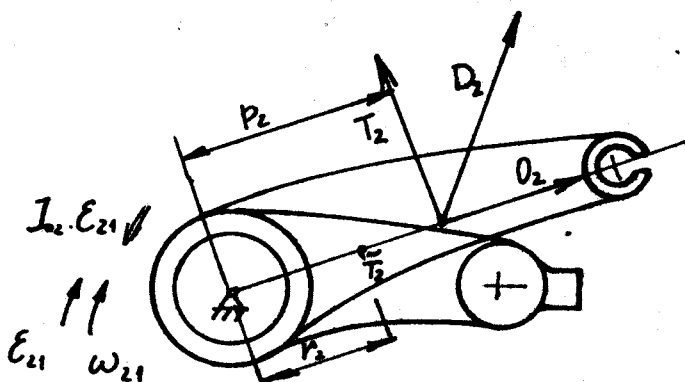
Izolácia súpravy

Dynamické činnky člens 4 + 3 - uvažujeme, že člen 4+3 je hmotný, ostatné nehmotné.



Stvrté superpozícia

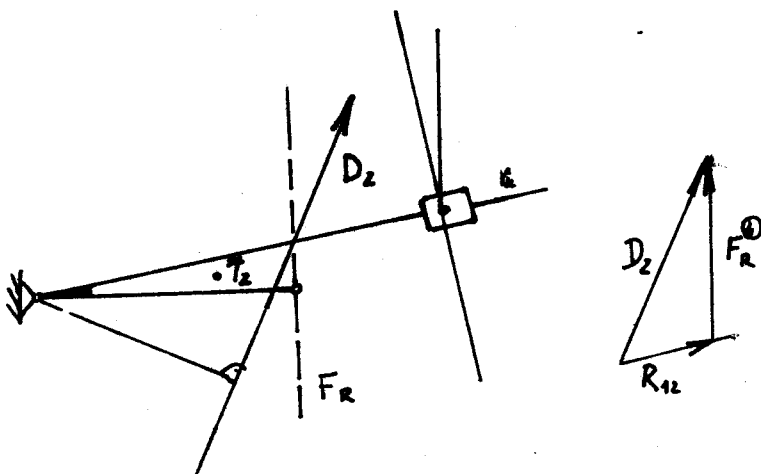
Dynamické účinky člens 2 - člen 2 hmotn., ostatné nehmot.
ad.



$$D_2 = m_2 r_2 \omega_{21}^2$$

$$J_{21} \cdot E_{21} = P_2 \cdot T_2 \Rightarrow P_2 = \frac{J_{21} \cdot E_{21}}{T_2} = \frac{J_{21}}{m_2 r_2}$$

$$T_2 = m_2 r_2 \cdot E_{21}$$



Bieličie výsledky jednotlivých superpozícií krokov vektore
rove súčtumu: $R_R = F_R^1 + F_R^2 + F_R^3 + F_R^4$ a tým dostaneme výslednú
sилу F_R , ktorá pôsobí na rolničku členu 2.

3.0 ZÁVER

Súčasný konfekčný dierkovací stroj s dvojnitným retiazkovým stehom dosahuje výkonu 2 200 st./min. To je pozoruhodný výsledok technického rozvoja posledných rokov, avšak je treba vidieť, že vysoká frekvencia otáčok stroja nemožé sama od seba vyriešiť výrobné problémy súčasného moderného odevného závodu, a to dokonca ani pokial sa týka samostatnej produktyvity práce. Naopak, značna šijacia rýchlosť so sebou prináša radu nových problémov.

Pri kinematickom výpočte največšie rýchlosťi a zrýchlenia, ktoré majú negatívny vplyv na ostatné časti mechanizmu, a to u chapačovej vačky sú v miestach, kde začína pracovať ľavý a pravý chapač a začína snímať smyčku pri pootočení vačky o 65°-75°, 100°-110°, 245°-255°, 280°-290°. U otváračovej vačky sú to miesta pri pootočení vačky o 50°-60°, 230°-240°. Graf 1,2 príloha 2.

Pri súčasnej výrobe vačky, ktorá je vyrábaná nepriamym sposobom /kopírováním/ a tým vznikajú prídatné zrýchlenia, ktoré majú negatívny vplyv na hlučnosť stroja.

Po vyhľadení vačky, ktorej nové hodnoty sú v prílohe I str. 16-17 je výhodné vyrábať novú vačku na programovom stroji SIG HRF 500 /brúska, frézka/, ktorá by mohla byť použitá pre vyššie šijacie rýchlosťi ako 2200 st./min. a v tomto prípade ide o 2500 st./min. Pri dynamickom výpočte ide o odstranenie čo najviac zložitých mechanizmov, to znamená umiestnenie vačky čo najbližšie k vlastnému mechanizmu smyčkovačov a otváračov. Mechanizmy riešime tak, aby boli čo najľahšie kvôli rázom/dynamickým účinkom/ a tým sa zníži hlučnosť stroja.

Záverom diplomovej práce by som chcel poďakovať vedúcemu diplomovej práce ing. Dostrašilovi za odborné vedenie a prípomienky, konzultantovi s. Janderkovi za poskytnuté materiály a ing. Kolocovi CSc za pomoc pri riešení danej problematiky.

v LIBERCI dňa 25.5.1979

Michael Ollad
podpis diplomanta

Z O Z N A M P O U Z I T E J L I T E R A T U R Y

1./ V. Metejl, G. Topřík:

SICÍ STROJE V ODĚVNÍ VÝROBĚ

SNIL Praha

2./ J. Jirášek:

Konstrukce a technologie výroby průmyslových šicích
strojů I.

3./ J. Strya:

Konstrukce a technologie výroby průmyslových šicích
strojů II.

4./ A. Raletov:

Základy numerické matematiky

5./ V. Jigl, M. Pešour

MECHANIKA I

6./ T E X T I L - odborný časopis pro průmysl textilní

a oděvní SNIL Praha

VŠST LIBEREC

Fakulta strojní

**Chopací systém konfekčného
dierkovacieho utroja**

strana

PRILOHOVÁ ČASŤ

1

Hodnoty derivácií pre časné

\dot{x}	0
\ddot{x}_0	0
\ddot{y}_0	25,04
\ddot{y}_1	1,12 -02
\ddot{y}_2	0
\ddot{y}_3	0
\ddot{y}_4	0
\ddot{y}_5	0

2,5	01
2,532	01
1,12	-02
0	
-6,484186830	-05
3,414276731	-05
-1,929975610	-05

t = 1

5,0	01
2,548567816	01
-3,753688223	-03
-1,948939367	-03
-5,551917863	-05
-4,868337162	-05
-6,485791634	-05

t = 2

5,7	01
2,333131750	01
-2,331938043	-02
-6,932155950	-03
-2,332287000	-03
8,461071137	-04
-8,474588330	-03

1 = 3

7,0	01
2,423807632	01
-1,210738156	-01
2,021387974	-02
1,0213595807	-03
-3,196439894	-04
2,631995580	-03

1 = 4

6,5	01
2,395981627	01
-5,325258886	-02
3,5	-03
-2,712268851	-04
-1,344709954	-04
1,763439857	-05

1 = 5

3,30	02
2,126221780	01
-1,126097882	-01
0,391264163	-04
1,405081160	-03
-2,350813500	-05
1,386771643	-05

1 = 6

1,35	00
1,972113533	01
-2,3921931957	-02
1	-03
-5,422364210	-04
2,663875090	-05
-4,734856373	-06

 $\lambda = 7$

1,80	00
1,916668886	01
-6,150079361	-02
-4,738176150	-03
-4,150194662	-04
3,383327685	-05
-1,680899345	-06

 $\lambda = 8$

2,20	00
1,983500074	01
3,786730436	-02
7,	-03
1,650074361	-04
-2,084999989	-05
1,340428180	-06

 $\lambda = 9$

2,30	00
1,999145649	01
1,696954997	-02
3,014835918	-03
0,388879374	-04
3,455136461	-05
-6,616636616	-06

 $\lambda = 10$

2,67	02
2,00000000	01
1,00100000	-01
1,00010000	-02
-1,751012200	-03
-0,399739110	-04
7,940000244	-05

1 = 11

2,68	02
2,000004107	01
2,876732770	-02
-5,547000040	-03
2,762000050	-04
-0,101000000	-05
1,064610000	-06

1 = 12

2,78	02
2,040003010	01
2,855400007	-02
6,057000005	-03
2,495100005	-04
4,677700005	-05
-3,276000700	-06

1 = 13

2,68	02
2,335000120	01
1,543073495	-01
-0,314000000	-02
-1,0000044700	-03
4,3940001000	-04
-7,0050002170	-05

1 = 14

2,96	02
2,414285688	02
4,397855938	-02
-0,527855794	-03
3,515834168	-03
-0,045876196	-04
1,936678514	-04

1 = 15

3,98	02
2,632085258	01
2,332476188	-02
-2,011286728	-04
-1,292671916	-04
1,331278428	-05
-0,665023708	-07

1 = 16

3,90	02
2,692842	01
1,12	-03
0	
0	
0	
0	

1 = 17

0	00
2,0	00
0	-
0	
-0,35548717	-03
-0,35548717	-03
-0,995524835	-03

1 = 0

Hodnoty_40x10x211_P09_streček

3,0	01
2,384789848	01
-7,764712395	-02
-4,362059509	-05
-8,689406656	-04
3,448002032	-04
-3,786657106	-05

i = 1

4,9	01
2,146591819	01
-4,657266508	-02
2,395141621	-03
-1,066878608	-03
2,299933775	-03
-4,094940382	-04

i = 2

6,5	01
2,299933906	01
3,084725078	-01
5,373383187	-05
-1,455580071	-02
3,038863986	-03
-3,396734770	-04

i = 3

8,0	01
2,484	01

i = 4

1,04	02
2,494	01
0	
0	
-7,0101000350	-03
2,966308593	-03
-3,7070059742	-03

z = 5

1,39	02
2,44	01
0	
0	
0	
0	
0	

z = 6

2,45	02
2,44	01
0	
0	
1,720066937	-03
-1,670066460	-04
-1,535026694	-05

z = 7

2,30	02
2,484520099	01
0,724268155	-02
0,112310708	-04
-1,543369381	-03
2,5601561597	-04
-1,811693719	-05

z = 8

2,40	02
2,884779514	01
-1,550951304	-02
-4,239355338	-03
-4,088888808	-04
3,082388893	-04
-3,466254308	-05

i = 9

2,57	02
2,482846761	01
-2,748593510	-03
3,451559313	-03
-6,547791611	-04
6,854297116	-05
-5,881245212	-06

i = 10

2,60	02
2,461552147	01
-6,582544906	-03
5,339452214	-04
-2,169949973	-06
2,492867988	-06
-1,273190204	-06

i = 11

3,00	02
2,884779501	01
-1,437294323	-02
-6.	-03
-1,988852007	-05
3,688160307	-05
-2,429197461	-06

i = 12

3,30	02
2,4	01
0	
0	
0	
0	
0	

1 - 13

Strana

Hodnoty chapacových drážky novej výšky	11-13
Hodnoty chapacových drážky starej výšky	14-15
Hodnoty strávokových drážky novej výšky	16-17
Hodnoty strávokových drážky starej výšky	18-19

$\varphi [^{\circ}]$	r [mm]								
0	24,04	35	25,424	70	24,296	105	21,807	140	19,518
1	25,051	36	25,433	71	24,176	106	21,705	141	19,500
2	25,062	37	25,441	72	24,057	107	21,599	142	19,583
3	25,074	38	25,449	73	23,942	108	21,489	143	19,566
4	25,085	39	25,456	74	23,831	109	21,376	144	19,549
5	25,096	40	25,463	75	23,725	110	21,362	145	19,533
6	25,107	41	25,469	76	23,624	111	21,149	146	19,520
7	25,118	42	25,475	77	23,529	112	21,038	147	19,503
8	25,130	43	25,479	78	23,439	113	20,930	148	19,491
9	25,141	44	25,483	79	23,356	114	20,825	149	19,478
10	25,152	45	25,486	80	23,378	115	20,725	150	19,463
11	25,163	46	25,489	81	23,205	116	20,631	151	19,452
12	25,174	47	25,490	82	23,137	117	20,541	152	19,440
13	25,186	48	25,490	83	23,074	118	20,458	153	19,428
14	25,197	49	25,488	84	23,015	119	20,380	154	19,416
15	25,208	50	25,485	85	22,980	120	20,308	155	19,405
16	25,219	51	25,480	86	22,908	121	20,242	156	19,394
17	25,230	52	25,474	87	22,860	122	20,181	157	19,383
18	25,242	53	25,466	88	22,814	123	20,125	158	19,372
19	25,253	54	25,455	89	22,771	124	20,075	159	19,362
20	25,264	55	25,442	90	22,729	125	20,029	160	19,352
21	25,275	56	25,424	91	22,687	126	19,986	161	19,342
22	25,286	57	25,401	92	22,646	127	19,948	162	19,332
23	25,298	58	25,372	93	22,605	128	19,912	163	19,322
24	25,309	59	25,333	94	22,561	129	19,880	164	19,312
25	25,32	60	25,294	95	22,516	130	19,849	165	19,303
26	25,331	61	25,324	96	22,467	131	19,821	166	19,293
27	25,342	62	25,152	97	22,415	132	19,794	167	19,284
28	25,353	63	25,070	98	22,358	133	19,769	168	19,275
29	25,364	64	24,978	99	22,297	134	19,744	169	19,266
30	25,375	65	24,877	100	22,230	135	19,721	170	19,257
31	25,385	66	24,789	101	22,157	136	19,699	171	19,247
32	25,395	67	24,655	102	22,079	137	19,677	172	19,238
33	25,405	68	24,538	103	21,994	138	19,657	173	19,229
34	25,415	69	24,417	104	21,903	139	19,537	174	19,220

$\varphi[\cdot]$	r [mm]								
175	19,311	210	18,932	245	20,120	260	22,483	315	24,984
176	19,293	211	18,929	246	20,273	261	22,588	316	24,986
177	19,193	212	18,917	247	20,430	262	22,687	317	24,988
178	19,184	213	18,928	248	20,580	263	22,682	318	24,987
179	19,175	214	18,949	249	20,750	264	22,786	319	24,989
180	19,166	215	18,935	250	20,908	265	22,886	320	24,986
181	19,157	216	18,926	261	21,061	266	22,983	321	24,973
182	19,148	217	18,927	252	21,209	267	23,084	322	24,986
183	19,139	218	18,929	263	21,349	268	23,185	323	24,986
184	19,129	219	18,932	254	21,478	269	23,286	324	24,788
185	19,120	220	18,925	255	21,597	270	23,387	325	24,712
186	19,110	221	18,929	256	21,702	271	23,472	326	24,720
187	19,101	222	18,944	257	21,794	272	23,588	327	24,720
188	19,091	223	18,950	258	21,875	273	23,696	328	24,720
189	19,082	224	18,955	259	21,937	274	24,038	329	24,743
190	19,073	225	18,964	260	21,999	275	24,096	330	24,750
191	19,063	226	18,975	261	22,090	276	24,163	331	24,757
192	19,054	227	18,982	262	22,052	277	24,181	332	24,765
193	19,045	228	18,993	263	22,089	278	24,213	333	24,772
194	19,036	229	18,995	264	22,112	279	24,362	334	24,770
195	19,027	230	19,021	265	22,133	280	24,369	335	24,768
196	19,018	231	19,040	266	22,155	301	24,295	336	24,766
197	19,030	232	19,062	267	22,176	302	24,329	337	24,768
198	19,002	233	19,069	268	22,198	303	24,345	338	24,800
199	19,094	234	19,122	269	22,220	304	24,370	339	24,817
200	19,085	235	19,132	270	22,241	305	24,396	340	24,825
201	19,076	236	19,220	271	22,263	306	24,418	341	24,833
202	19,072	237	19,265	272	22,284	307	24,443	342	24,840
203	19,065	238	19,333	273	22,304	308	24,463	343	24,844
204	19,059	239	19,411	274	22,323	309	24,484	344	24,847
205	19,053	240	19,500	275	22,344	310	24,505	345	24,854
206	19,048	241	19,602	276	22,363	311	24,525	346	24,856
207	19,043	242	19,715	277	22,383	312	24,545	347	24,853
208	19,038	243	19,840	278	22,400	313	24,561	348	24,855
209	19,035	244	19,975	279	22,421	314	24,579	349	24,857

$\gamma[\cdot]$	$r[\text{mm}]$	$\varphi[\cdot]$	$r[\text{mm}]$	$\gamma[\cdot]$	$r[\text{mm}]$	$\varphi[\cdot]$	$r[\text{mm}]$		
350	34,922	353	34,922	355	34,923	350	34,922		
352	34,929	354	34,923	357	34,928	360	34,924		
355	34,930	355	34,924	355	34,923				

0°	25,040	36	25,442	72	24,660	108	21,500	144	19,340
1	25,060	37	25,442	73	23,959	109	21,390	145	19,530
2	25,070	38	25,450	74	23,840	110	21,260	146	19,510
3	25,080	39	25,459	75	23,720	111	21,140	147	19,390
4	25,095	40	25,462	76	23,600	112	21,021	148	19,450
5	25,100	41	25,470	77	23,515	113	20,940	149	19,470
6	25,112	42	25,479	78	23,430	114	20,840	150	19,450
7	25,122	43	25,480	79	23,380	115	20,750	151	19,440
8	25,140	44	25,481	80	23,280	116	20,661	152	19,420
9	25,142	45	25,481	81	23,220	117	20,580	153	19,410
10	25,160	46	25,488	82	23,157	118	20,500	154	19,400
11	25,170	47	25,489	83	23,100	119	20,430	155	19,380
12	25,180	48	25,490	84	23,020	120	20,360	156	19,330
13	25,190	49	25,491	85	22,960	121	20,300	157	19,370
14	25,200	50	25,491	86	22,920	122	20,240	158	19,360
15	25,210	51	25,485	87	22,870	123	20,180	159	19,350
16	25,221	52	25,480	88	22,820	124	20,130	160	19,340
17	25,238	53	25,489	89	22,770	125	20,080	161	19,330
18	25,242	54	25,459	90	22,715	126	20,030	162	19,320
19	25,259	55	25,440	91	22,660	127	19,980	163	19,310
20	25,262	56	25,420	92	22,630	128	19,940	164	19,300
21	25,279	57	25,400	93	22,584	129	19,900	165	19,290
22	25,290	58	25,368	94	22,546	130	19,860	166	19,280
23	25,300	59	25,323	95	22,500	131	19,830	167	19,270
24	25,312	60	25,290	96	22,460	132	19,800	168	19,260
25	25,320	61	25,224	97	22,416	133	19,770	169	19,250
26	25,330	62	25,180	98	22,380	134	19,744	170	19,240
27	25,340	63	25,100	99	22,360	135	19,720	171	19,240
28	25,350	64	25,000	100	22,242	136	19,700	172	19,230
29	25,360	65	24,880	101	22,150	137	19,680	173	19,220
30	25,370	66	24,760	102	22,110	138	19,650	174	19,200
31	25,380	67	24,640	103	22,040	139	19,630	175	19,200
32	25,390	68	24,530	104	21,930	140	19,610	176	19,200
33	25,400	69	24,410	105	21,830	141	19,600	177	19,190
34	25,419	70	24,300	106	21,750	142	19,580	178	19,180
35	25,429	71	24,180	107	21,670	143	19,560	179	19,170

VŠST LIBEREC		Chopákovy sýpka konfekčního dělárského sklepa							strana	
Fakulta strojní									25	
180	19,180	216	18,921	252	21,200	288	23,360	324	24,650	
181	19,150	217	18,922	253	21,330	289	23,560	325	24,660	
182	19,142	218	18,930	254	21,390	290	23,700	326	24,670	
183	19,138	219	18,938	255	21,640	291	23,800	327	24,680	
184	19,128	220	18,939	256	21,750	292	23,880	328	24,690	
185	19,120	221	18,940	257	21,820	293	23,960	329	24,710	
186	19,110	222	18,948	258	21,880	294	24,020	330	24,720	
187	19,100	223	18,950	259	21,940	295	24,080	331	24,730	
188	19,090	224	18,960	260	21,980	296	24,130	332	24,740	
189	19,080	225	18,970	261	22,020	297	24,170	333	24,750	
190	19,078	226	18,980	262	22,050	298	24,210	334	24,760	
191	19,062	227	18,990	263	22,080	299	24,250	335	24,770	
192	19,060	228	19,000	264	22,110	300	24,280	336	24,780	
193	19,050	229	19,020	265	22,140	301	24,310	337	24,800	
194	19,040	230	19,040	266	22,180	302	24,330	338	24,810	
195	19,030	231	19,060	267	22,180	303	24,360	339	24,820	
196	19,020	232	19,080	268	22,210	304	24,380	340	24,830	
197	19,010	233	19,100	269	22,220	305	24,400	341	24,840	
198	18,988	234	19,140	270	22,240	306	24,420	342	24,850	
199	18,980	235	19,180	271	22,260	307	24,440	343	24,860	
200	18,980	236	19,220	272	22,280	308	24,460	344	24,870	
201	18,976	237	19,260	273	22,300	309	24,478	345	24,880	
202	18,970	238	19,320	274	22,320	310	24,490	346	24,890	
203	18,962	239	19,380	275	22,340	311	24,500	347	24,900	
204	18,960	240	19,480	276	22,360	312	24,520	348	24,920	
205	18,950	241	19,540	277	22,390	313	24,530	349	24,930	
206	18,948	242	19,680	278	22,420	314	24,540	350	24,940	
207	18,942	243	19,800	279	22,460	315	24,560	351	24,950	
208	18,940	244	19,950	280	22,500	316	24,570	352	24,960	
209	18,939	245	20,150	281	22,540	317	24,580	353	24,970	
210	18,930	246	20,300	282	22,600	318	24,590	354	24,980	
211	18,930	247	20,400	283	22,670	319	24,600	355	24,990	
212	18,930	248	20,600	284	22,750	320	24,610	356	25,000	
213	18,930	249	20,750	285	22,870	321	24,620	357	25,010	
214	18,929	250	20,900	286	23,040	322	24,630	358	25,020	
215	18,923	251	21,040	287	23,180	323	24,640	359	25,030	

VŠST LIBEREC Fakulta strojní		Chapačový systém kompaktného dielavocieľného stroja								Strana 16	
φ°	ϑ / mm	φ°	r / mm	φ°	r / mm	φ°	r / mm	φ°	r / mm	φ°	r / mm
1	24,000	36	23,300	71	24,400	100	24,930	141	24,400		
2	24,000	37	23,290	72	24,630	107	24,910	142	24,400		
3	24,000	38	23,201	73	24,738	108	24,884	143	24,400		
4	24,000	39	22,110	74	24,810	109	24,863	144	24,400		
5	24,000	40	22,038	75	24,973	110	24,791	145	24,400		
6	24,000	41	21,960	76	24,905	111	24,723	146	24,400		
7	24,000	42	21,894	77	24,893	112	24,674	147	24,400		
8	24,000	43	21,812	78	24,837	113	24,607	148	24,400		
9	24,000	44	21,744	79	24,940	114	24,568	149	24,400		
10	23,999	45	21,680	80	24,900	115	24,497	150	24,400		
11	23,996	46	21,620	81	24,940	116	24,450	151	24,400		
12	23,988	47	21,565	82	24,940	117	24,420	152	24,400		
13	23,973	48	21,514	83	24,940	118	24,400	153	24,400		
14	23,950	49	21,466	84	24,940	119	24,401	154	24,400		
15	23,918	50	21,430	85	24,940	120	24,400	155	24,400		
16	23,878	51	21,374	86	24,940	121	24,400	156	24,400		
17	23,830	52	21,330	87	24,940	122	24,400	157	24,400		
18	23,774	53	21,308	88	24,940	123	24,400	158	24,400		
19	23,711	54	21,290	89	24,940	124	24,400	159	24,400		
20	23,642	55	21,280	90	24,940	125	24,400	160	24,400		
21	23,589	56	21,310	91	24,940	126	24,400	161	24,400		
22	23,491	57	21,350	92	24,940	127	24,400	162	24,400		
23	23,410	58	21,411	93	24,940	128	24,400	163	24,400		
24	23,329	59	21,559	94	24,940	129	24,400	164	24,400		
25	23,246	60	21,715	95	24,940	130	24,400	165	24,400		
26	23,164	61	21,869	96	24,940	131	24,400	166	24,400		
27	23,083	62	22,141	97	24,940	132	24,400	167	24,400		
28	23,004	63	22,405	98	24,940	133	24,400	168	24,400		
29	22,925	64	22,693	99	24,940	134	24,400	169	24,400		
30	22,848	65	22,990	100	24,940	135	24,400	170	24,400		
31	22,770	66	23,300	101	24,940	136	24,400	171	24,400		
32	22,692	67	23,595	102	24,940	137	24,400	172	24,400		
33	22,612	68	23,884	103	24,940	138	24,400	173	24,400		
34	22,532	69	24,108	104	24,940	139	24,400	174	24,400		
35	22,450	70	24,314	105	24,940	140	24,400	175	24,400		

VŠST LIBEREC			Chapačový systém konfekčného šitárenského stroja						Strana	
Fakulta strojní									29	
175	24,400	212	24,432	248	25,100	294	24,491	290	25,500	
177	24,400	213	24,472	269	25,100	295	24,625	291	25,500	
178	24,400	214	24,514	250	25,000	296	24,472	292	25,500	
179	24,400	215	24,556	261	25,000	297	24,472	293	25,500	
180	24,400	216	24,600	232	25,000	298	24,625	294	25,500	
181	24,400	217	24,642	253	25,000	299	24,405	295	25,500	
182	24,400	218	24,712	264	25,000	300	24,450	296	25,500	
183	24,400	219	24,753	255	25,000	301	24,441	297	25,500	
184	24,400	220	24,805	256	25,000	302	24,432	298	25,500	
185	24,400	221	24,847	257	25,000	303	24,442	299	25,500	
186	24,400	222	24,900	258	25,000	304	24,411	300	25,500	
187	24,400	223	25,042	259	24,700	305	24,400	301	24,500	
188	24,400	224	25,100	260	24,700	306	24,325	302	24,500	
189	24,400	225	25,147	261	24,700	307	24,370	303	24,500	
190	24,400	226	25,221	262	24,700	308	24,340	304	24,500	
191	24,400	227	25,283	263	24,700	309	24,340	305	24,500	
192	24,400	228	25,313	264	24,601	310	24,305	306	24,500	
193	24,400	229	25,351	265	24,637	311	24,320	307	24,500	
194	24,400	230	25,384	266	24,629	312	24,305	308	24,500	
195	24,400	231	25,412	267	24,600	313	24,200	309	24,500	
196	24,400	232	25,435	268	24,626	314	24,373	310	24,500	
197	24,400	233	25,452	269	24,623	315	24,267	311	24,500	
198	24,400	234	25,465	270	24,621	316	24,240	312	24,500	
199	24,400	235	25,473	271	24,500	317	24,223	313	24,500	
200	24,400	236	25,476	272	24,500	318	24,200	314	24,500	
201	24,400	237	25,476	273	24,500	319	24,180	315	24,500	
202	24,400	238	25,476	274	24,500	320	24,172	316	24,500	
203	24,400	239	25,481	275	24,500	321	24,155	317	24,500	
204	24,400	240	25,482	276	24,500	322	24,138	318	24,500	
205	24,400	241	25,490	277	24,500	323	24,123	319	24,500	
206	24,400	242	25,498	278	24,500	324	24,100	320	24,500	
207	24,400	243	25,501	279	24,500	325	24,000	321	24,500	
208	24,402	244	25,500	280	24,500	326	24,000	322	24,500	
209	24,407	245	25,514	281	24,500	327	24,000	323	24,500	
210	24,416	246	25,575	282	24,500	328	24,000	324	24,500	
211	24,431	247	25,533	283	24,500	329	24,000	325	24,500	

VŠST LIBEREC		Chráňový systém konfidenčného dokumentačného stredja							Strana	
0°	24,000	36	22,300	72	24,600	108	24,680	212	24,410	
1	24,000	37	22,300	73	24,720	109	24,680	213	24,430	
2	24,000	38	22,220	74	24,615	110	24,610	214	24,480	
3	24,000	39	22,150	75	24,580	111	24,750	215	24,530	
4	24,000	40	22,070	76	24,940	112	24,680	216	24,600	
5	24,000	41	21,990	77	24,940	113	24,600	217	24,680	
6	24,000	42	21,900	78	24,940	114	24,530	218	24,730	
7	24,000	43	21,840	79	24,940	115	24,460	219	24,790	
8	24,000	44	21,750	80	24,940	116	24,430	220	24,850	
9	24,000	45	21,690	81	24,940	117	24,410	221	24,920	
10	24,000	46	21,620	82	24,940	118	24,400	222	24,980	
11	24,000	47	21,560	83	24,940	119	24,400	223	25,040	
12	23,990	48	21,520	84	24,940	120	24,400	224	25,100	
13	23,980	49	21,460	85	24,940	121	24,400	225	25,170	
14	23,960	50	21,420	86	24,940	122	24,400	226	25,240	
15	23,930	51	21,380	87	24,940	123	24,400	227	25,300	
16	23,980	52	21,350	88	24,940	124	24,400	228	25,340	
17	23,920	53	21,330	89	24,940	125	24,400	229	25,370	
18	23,770	54	21,320	90	24,940	126	24,400	230	25,400	
19	23,700	55	21,320	91	24,940	127	24,400	231	25,430	
20	23,630	56	21,340	92	24,940	128	24,400	232	25,450	
21	23,550	57	21,380	93	24,940	129	24,400	233	25,460	
22	23,460	58	21,410	94	24,940	130	24,400	234	25,470	
23	23,390	59	21,500	95	24,940	131	24,400	235	25,480	
24	23,310	60	21,650	96	24,940	132	24,400	236	25,480	
25	23,230	61	21,840	97	24,940	133	24,400	237	25,480	
26	23,160	62	22,110	98	24,940	134	24,400	238	25,470	
27	23,080	63	22,400	99	24,940	135	24,400	239	25,460	
28	23,000	64	22,730	100	24,940	136	24,400	240	24,450	
29	23,930	65	23,050	101	24,940	137	24,400	241	25,430	
30	22,850	66	23,345	102	24,940	138	24,400	242	25,400	
31	22,770	67	23,620	103	24,940	139	24,400	243	25,380	
32	22,700	68	23,880	104	24,940	140	24,400	244	25,350	
33	22,610	69	24,090	105	24,940	141	24,400	245	25,320	
34	22,530	70	24,250	106	24,940	142	24,400	246	25,290	
35	22,450	71	24,460	107	24,940	143	24,400	247	25,240	

248	25,190	284	24,580	320	24,630	358	24,000		
249	25,120	285	24,480	321	24,620	357	24,000		
250	25,070	286	24,480	322	24,620	358	24,000		
251	25,020	287	24,470	323	24,610	359	24,000		
252	25,980	288	24,680	324	24,600	360	24,000		
253	25,950	289	24,460	325	24,000				
254	25,910	290	24,450	326	24,000				
255	25,880	291	24,440	327	24,000				
256	25,850	292	24,430	328	24,000				
257	25,830	293	24,420	329	24,000				
258	25,800	294	24,410	330	24,000				
259	25,780	295	24,400	331	24,000				
260	25,760	296	24,390	332	24,000				
261	25,740	297	24,380	333	24,000				
262	25,720	298	24,360	334	24,000				
263	25,700	299	24,350	335	24,000				
264	25,690	300	24,340	336	24,000				
265	25,670	301	24,320	337	24,000				
266	24,660	302	24,300	338	24,000				
267	24,650	303	24,290	339	24,000				
268	24,630	304	24,280	340	24,000				
269	24,620	305	24,260	341	24,000				
270	24,610	306	24,240	342	24,000				
271	24,600	307	24,230	343	24,000				
272	24,590	308	24,210	344	24,000				
273	24,580	309	24,190	345	24,000				
274	24,570	310	24,180	346	24,000				
275	24,560	311	24,160	347	24,000				
276	24,550	312	24,140	348	24,000				
277	24,540	313	24,120	349	24,000				
278	24,530	314	24,100	350	24,000				
279	24,520	315	24,090	351	24,000				
280	24,510	316	24,080	352	24,000				
281	24,510	317	24,060	353	24,000				
282	24,500	318	24,050	354	24,000				
283	24,500	319	24,040	355	24,000				

	[°]	[°]	[°]	[°]	[°]	[°]	[°]
10	-0,1000	130	-0,3000	260	-0,4285		
20	0,2131	130	-0,3000	260	-0,1130		
30	0,7350	260	-0,3000	260	-0,9130		
40	2,2413	140	-0,3000	260	-0,7280		
50	1,0000	130	-0,3000	270	-0,4922		
55	2,5882	130	-0,3000	270	-0,0100		
60	3,1869	130	-0,3000	260	-0,5355		
65	3,4927	140	-0,3000	260	-0,3000		
70	3,9210	170	-0,3000	260	-0,4580		
75	3,3000	170	-0,3000	260	-0,3000		
80	3,0000	180	-0,3000	260	-0,3000		
85	1,3010	180	-0,3000	260	-0,1000		
90	-0,3000	180	-0,3000	310	-0,0000		
95	-1,0100	180	-0,3000	315	0,0007		
100	-1,1000	260	-0,3000	320	0,1000		
105	-1,1000	260	-0,3000	320	0,1000		
110	-1,1500	260	-0,3007	320	0,1007		
115	-1,1500	260	-0,3010				
120	-1,1500	260	-0,3013				
125	-1,1507	260	-1,4215				
130	-0,3000	260	-1,7357				
135	-0,3000	260	-1,8107				
140	-0,3000	260	-1,9117				
145	-0,3000	260	-1,9470				

$\tau [^{\circ}C]$	$d\tau/d\tau[1]$	$\tau [^{\circ}C]$	$d\tau/d\tau[1]$	$\tau [^{\circ}C]$	$d\tau/d\tau[1]$
10	0,0021	130	0	200	0,0009
15	0,0023	135	0	205	0,0008
20	0,0025	140	0	210	0,0008
25	0,0024	145	0	215	0,0012
30	0,0023	150	0	220	0,0010
35	0,0027	155	0	225	0,0009
40	0,0021	160	0	230	0,0008
45	0,0020	165	0	235	0,0007
50	0,0022	170	0	240	0,0010
55	0,0025	175	0	245	0,0008
60	-0,0019	180	0	250	0,0007
65	-0,0022	185	0	255	0,0008
70	-0,0025	190	0	260	0,0008
75	-0,0027	195	0	265	0,0008
80	-0,0028	200	0	270	0,0008
85	0	205	0	275	0,0010
90	0	210	-0,0047	280	0
95	0	215	-0,0046		
100	0	220	-0,0047		
105	0,0008	225	-0,0047		
110	0,0020	230	-0,0049		
115	0,0020	235	-0,0146		
120	0,0004	240	0,0146		
125	0	245	0,0000		

$\tau [^{\circ}]$	$\frac{d\psi}{d\tau_1} [\text{rad}^{-1}]$	$\tau [^{\circ}]$	$\frac{d\psi}{d\tau_2} [\text{rad}^{-1}]$	$\tau [^{\circ}]$	$\frac{d\psi}{d\tau_1} [\text{rad}^{-1}]$
10	-0,3107	130	0	250	0,3205
15	0,1703	135	0	255	-0,3207
20	0,4453	140	0	260	-0,3206
25	-0,0701	145	0	265	-0,3202
30	0,5619	150	0	270	-0,3210
35	0,3912	155	0	275	-0,3208
40	-0,3000	160	0	280	-0,3201
45	-0,3000	165	0	285	0,3197
50	-0,5145	170	0	290	0,3193
55	-0,3000	175	0	295	0,3195
60	-1,0419	180	0	300	0,3200
65	0,3437	185	0	305	0,3201
70	1,0437	190	0	310	-0,3200
75	1,0437	195	0	315	-0,3210
80	0,1217	200	0	320	-0,3213
85	0	205	0	325	-0,3200
90	0	210	-0,4126	330	-0
95	0	215	-0,4126		
100	0	220	-0,1270		
105	0,2100	225	0,3205		
110	0,3201	230	0,4126		
115	-0,3307	235	0,3200		
120	-0,1713	240	0,3512		
125	0	245	0,3200		

$\tau [^{\circ}]$	$s [mm]$	$\tau [^{\circ}]$	$s [mm]$	$\tau [^{\circ}]$	$s [mm]$
10	0,2050	135	-3,9926	255	-1,1749
15	0,3305	140	-3,9926	260	-0,9578
20	0,7712	145	-3,9926	265	-0,8276
25	1,4072	150	-3,9926	270	-0,7261
30	2,0363	155	-3,9926	275	-0,6408
35	2,6768	160	-3,9926	280	-0,5773
40	3,3205	165	-3,9926	285	-0,5313
45	3,8367	170	-3,9926	290	-0,4782
50	4,1940	175	-3,9926	295	-0,4038
55	4,1902	180	-3,9926	300	-0,3058
60	3,2225	185	-3,9926	305	-0,1877
65	1,4495	190	-3,9926	310	-0,0580
70	-2,1357	195	-3,9926	315	0,0626
75	-1,0700	200	-3,9926	320	0,1517
80	-1,2155	205	-3,9926	325	0,1962
85	-1,2156	210	-4,1929	330	0,2042
90	-1,2156	215	-6,0954		
100	-1,2156	220	-1,0213		
105	-1,2156	225	-1,4917		
110	-1,0367	230	-1,8422		
115	-5,7220	235	-2,0113		
120	-3,9930	240	-2,0060		
125	-3,9926	245	-1,8331		
130	-3,9926	250	-1,5092		

10	0,1306	130	0	250	4,1087
15	3,1945	135	0	255	3,2702
20	6,6228	140	0	260	1,8247
25	7,4832	145	0	265	1,2693
30	7,0718	150	0	270	1,0746
35	7,5741	155	0	275	0,8651
40	6,8789	160	0	280	0,5896
45	4,8758	165	0	285	0,5254
50	3,2240	170	0	290	0,7171
55	-4,8667	175	0	295	0,9919
60	-16,941	180	0	300	1,2453
65	-21,862	185	0	305	1,4488
70	-15,078	190	0	310	1,4808
75	-4,7342	195	0	315	1,2411
80	-0,0390	200	0	320	0,7737
85	0	205	0	325	0,2589
90	0	210	-0,8856	330	0
95	0	215	-3,5744		
100	0	220	-5,5151		
105	0,0397	225	-4,9181		
110	4,5737	230	-3,0067		
115	4,5038	235	-0,8948		
120	0,0253	240	0,9867		
125	0	245	3,0064		
2[.]2	2[.]2	2[.]2	2[.]2	2[.]2	2[.]2
	$\frac{ds}{dt} [mm/s]$	$\frac{ds}{dt} [rad]$	$\frac{ds}{dt} [rad]$	$\frac{ds}{dt} [mm]$	$\frac{ds}{dt} [rad]$

φ_{z} [°]	$\frac{d\varphi}{dt}$ [mm/rev]	φ_{z} [°]	$\frac{d\varphi}{dt}$ [mm/rev]	φ_{z} [°]	$\frac{d\varphi}{dt}$ [mm/rev]
10	14,412	130	0	280	1,2608
15	43,623	135	0	285	-17,768
20	26,789	140	0	290	-30,881
25	-4,533	145	0	285	-3,2669
30	3,7302	150	0	270	-1,9143
35	1,9657	155	0	275	-0,4822
40	-18,054	160	0	280	-2,8268
45	-22,903	165	0	285	1,1269
50	-37,134	170	0	290	2,9374
55	-138,886	175	0	295	3,1693
60	-114,69	180	0	290	2,5699
65	21,066	185	0	305	1,6771
70	114,56	190	0	310	-1,1361
75	101,59	195	0	315	-4,2711
80	7,3228	200	0	320	-6,4698
85	0	205	0	325	-5,1243
90	0	210	-24,752	330	-1,9230
95	0	220	-31,625		
100	0	220	-7,0006		
105	12,897	220	17,002		
110	50,373	220	24,000		
115	-51,443	220	22,020		
120	-10,311	220	21,132		
125	0	220	21,074		

$\tau [.]$	$\mu [.]$	$\tau [.]$	$\mu [.]$	$\tau [.]$	$\mu [.]$
10	-9,273	130	-12,187	200	-10,504
15	-7,488	135	-12,187	205	-17,398
20	-4,644	140	-12,187	210	-15,601
25	-6,598	145	-12,187	215	-14,899
30	3,419	150	-12,187	220	-14,329
35	13,929	155	-12,187	225	-13,795
40	11,619	160	-12,187	230	-13,351
45	15,000	165	-12,187	235	-13,000
50	17,388	170	-12,187	240	-12,703
55	19,374	175	-12,187	245	-12,317
60	11,601	180	-12,187	250	-11,578
65	-9,321	185	-12,187	255	-10,811
70	-10,978	190	-12,187	260	-9,8713
75	-18,627	195	-12,187	265	-9,1910
80	-17,581	200	-12,187	270	-8,8168
85	-17,582	205	-12,187	275	-8,3366
90	-17,582	210	-12,187	280	-8,3704
95	-17,582	215	-12,187		
100	-17,582	220	-12,187		
105	-17,582	225	-12,187		
110	-16,366	230	-21,047		
115	-13,217	235	-20,002		
120	-10,267	240	-22,000		
125	-12,187	245	-21,704		

$\tau [^{\circ}]$	$d\tau/dt [1]$	$\tau [^{\circ}]$	$d\tau/dt [1]$	$\tau [^{\circ}]$	$d\tau/dt [^{\circ}]$
10	0,0348	130	0	200	0,0074
15	0,3081	135	0	205	0,3002
20	0,7388	140	0	210	0,2114
25	0,8816	145	0	215	0,1684
30	0,7871	150	0	220	0,1383
35	0,6689	155	0	225	0,0986
40	0,7794	160	0	230	0,0689
45	0,5598	165	0	235	0,0392
50	0,3735	170	0	240	0,0095
55	-0,3061	175	0	245	0,1126
60	-1,0457	180	0	250	0,1496
65	-2,4098	185	0	255	0,1866
70	-1,7064	190	0	260	0,1671
75	-0,5600	195	0	265	0,1307
80	-0,0666	200	0	270	0,0933
85	0	205	0	275	0,0559
90	0	210	-0,1000	280	0
95	0	215	-0,1003		
100	0	220	-0,0999		
105	0,0026	225	-0,0999		
110	0,0020	230	-0,0999		
115	0,0018	235	-0,1001		
120	0,0023	240	-0,1003		
125	0	245	-0,0999		

$\tau [^{\circ}]$	$\frac{d\omega}{dt} [rad^{-1}]$	$\tau [^{\circ}]$	$\frac{d^2\omega}{dt^2} [rad^{-2}]$	$\tau [^{\circ}]$	$\frac{d^3\omega}{dt^3} [rad^{-3}]$
10	3,0101	130	0	260	0,0000
15	0,0007	135	0	235	-0,1202
20	2,0407	140	0	260	-1,3730
25	-0,0109	145	0	265	-0,3833
30	0,4011	150	0	270	-0,1212
35	0,3006	155	0	275	-0,3445
40	-1,0018	160	0	280	-0,2900
45	-0,0007	165	0	265	-0,1270
50	-1,3875	170	0	260	0,3334
55	-0,1802	175	0	265	0,3867
60	-0,1231	180	0	300	0,3887
65	0,3666	185	0	305	0,1003
70	0,3385	190	0	310	-0,1835
75	11,710	195	0	315	-0,4864
80	0,8873	200	0	320	-0,6204
85	0	205	0	325	-0,3736
90	0	210	-0,0237	330	-0,0002
95	0	215	-0,0000		
100	0	220	-0,0000		
105	1,4993	225	1,0000		
110	0,7810	230	0,2000		
115	-0,0045	235	0,1000		
120	-1,1738	240	0,0000		
125	0	245	0,0000		

$\gamma [^{\circ}]$	$v [^{\circ}]$	$\gamma [^{\circ}]$	$v [^{\circ}]$	$\gamma [^{\circ}]$	$v [^{\circ}]$
10	1,3055	135	-2,5426	225	-3,4355
15	2,1050	135	-2,5426	225	-7,3620
20	4,9100	140	-2,5426	220	-8,1487
25	8,8057	145	-2,5426	215	-9,2784
30	13,5750	150	-2,5426	210	-10,6150
35	21,2850	155	-2,5426	205	-12,0450
40	31,0000	160	-2,5426	200	-13,5753
45	43,1451	165	-2,5426	195	-15,2047
50	57,0485	170	-2,5426	190	-16,9342
55	73,6320	175	-2,5426	185	-18,7718
60	92,0000	180	-2,5426	180	-20,6974
65	11,3367	185	-2,5426	175	-21,1352
70	-1,3297	190	-2,5426	170	-21,5958
75	-6,0005	195	-2,5426	165	-22,3650
80	-7,7629	200	-2,5426	160	-23,2352
85	-7,7629	205	-2,5426	155	-24,2053
90	-7,7629	210	-2,5426	150	-25,2050
95	-7,7629	215	-2,5426		
100	-7,7629	220	-2,5426		
105	-7,7629	225	-2,5426		
110	-6,6150	230	-11,815		
115	-3,6650	235	-12,9101		
120	-2,5426	240	-12,8046		
125	-2,5426	245	-11,7950		

[m] ab [•] J	[m] ab [•] J	[m] ab [•] J	[°] J	[m] ab [•] J	[•] J
1200,0	000	0	001	2810,0	01
1200,0	000	0	001	2820,0	01
1200,0	000	0	001	2830,0	01
1200,0	000	0	001	2840,0	01
1200,0	000	0	001	2850,0	01
1200,0	000	0	001	2860,0	01
1200,0	000	0	001	2870,0	01
1200,0	000	0	001	2880,0	01
1200,0	000	0	001	2890,0	01
1200,0	000	0	001	2900,0	01
1200,0	000	0	001	2910,0	01
1200,0	000	0	001	2920,0	01
1200,0	000	0	001	2930,0	01
1200,0	000	0	001	2940,0	01
1200,0	000	0	001	2950,0	01
1200,0	000	0	001	2960,0	01
1200,0	000	0	001	2970,0	01
1200,0	000	0	001	2980,0	01
1200,0	000	0	001	2990,0	01
1200,0	000	0	001	3000,0	01
1200,0	000	0	001	3010,0	01
1200,0	000	0	001	3020,0	01
1200,0	000	0	001	3030,0	01
1200,0	000	0	001	3040,0	01
1200,0	000	0	001	3050,0	01
1200,0	000	0	001	3060,0	01
1200,0	000	0	001	3070,0	01
1200,0	000	0	001	3080,0	01
1200,0	000	0	001	3090,0	01
1200,0	000	0	001	3100,0	01
1200,0	000	0	001	3110,0	01
1200,0	000	0	001	3120,0	01
1200,0	000	0	001	3130,0	01
1200,0	000	0	001	3140,0	01
1200,0	000	0	001	3150,0	01
1200,0	000	0	001	3160,0	01
1200,0	000	0	001	3170,0	01
1200,0	000	0	001	3180,0	01
1200,0	000	0	001	3190,0	01
1200,0	000	0	001	3200,0	01
1200,0	000	0	001	3210,0	01
1200,0	000	0	001	3220,0	01

$\tau [^{\circ}]$	$d\eta/d\tau^3 [\text{rad}]$	$\tau [^{\circ}]$	$d\eta/d\tau^2 [\text{rad}^2]$	$\tau [^{\circ}]$	$d\eta/d\tau^1 [\text{rad}^{-1}]$
10	2,0017	130	0	250	0,1000
15	5,0718	135	0	260	-2,0120
20	3,0324	140	0	260	-1,0100
25	-0,0006	145	0	265	-0,3207
30	0,0007	150	0	265	-0,3100
35	0,4348	155	0	275	-0,3200
40	-1,0014	160	0	280	-0,3100
45	-3,0031	165	0	285	0,1000
50	-4,0111	170	0	290	0,3200
55	-10,0000	175	0	295	0,3200
60	-12,0000	180	0	300	0,3200
65	3,0000	185	0	305	0,1000
70	12,0000	190	0	310	-0,1000
75	14,3200	195	0	315	-0,0145
80	0,0204	200	0	320	-0,0070
85	0	205	0	325	-0,0001
90	0	210	-0,1007	330	-0,0001
95	0	215	-3,0000		
100	0	220	-0,0007		
105	12,0000	225	1,0710		
110	3,0000	230	2,0001		
115	-5,7442	235	2,0007		
120	-1,0000	240	2,0007		
125	0	245	2,4003		

Grafický výpočet rýchlosťi a zrychlenia
u chapačového mechanizmu

